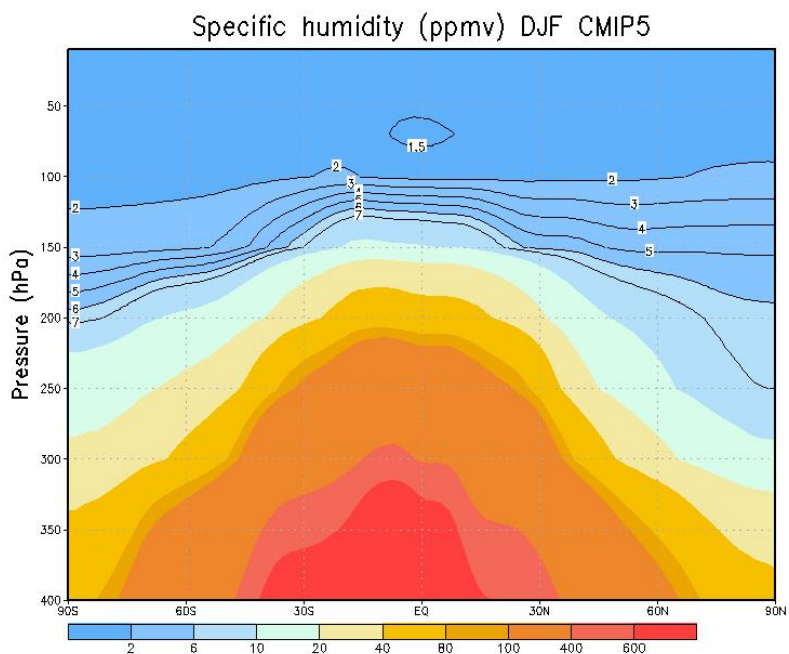
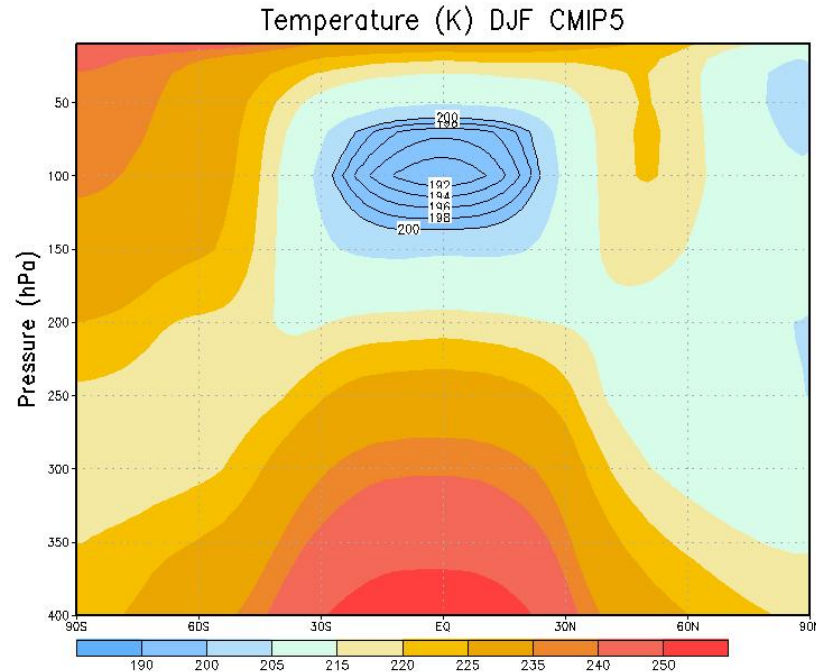
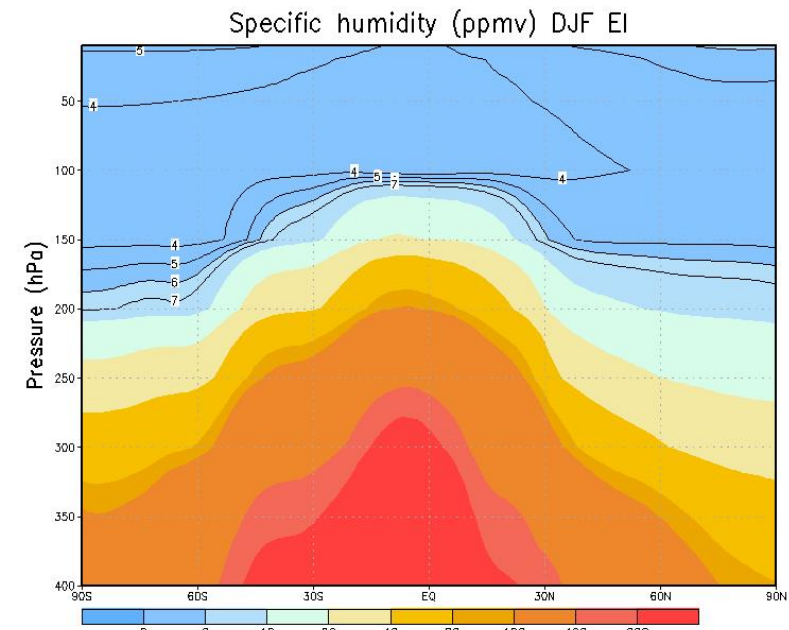
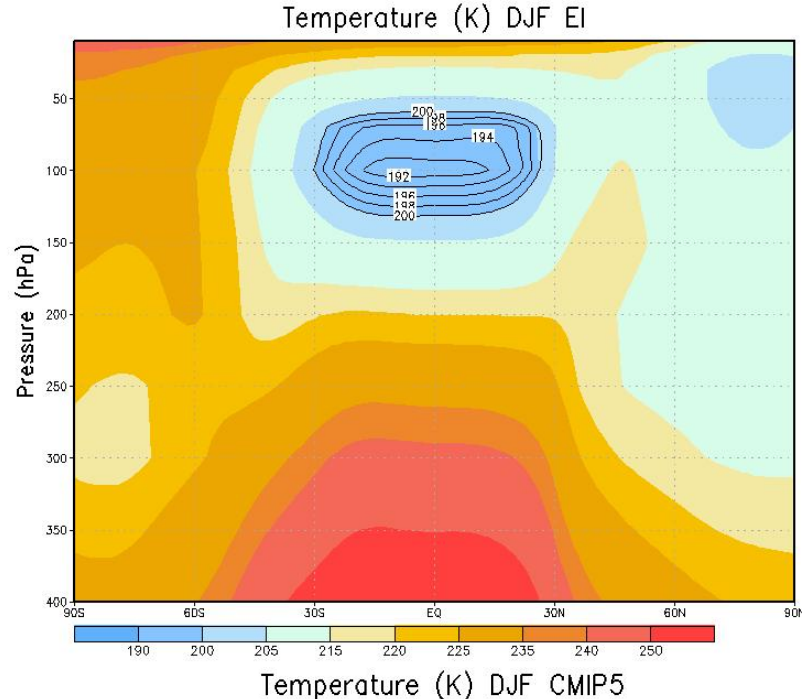
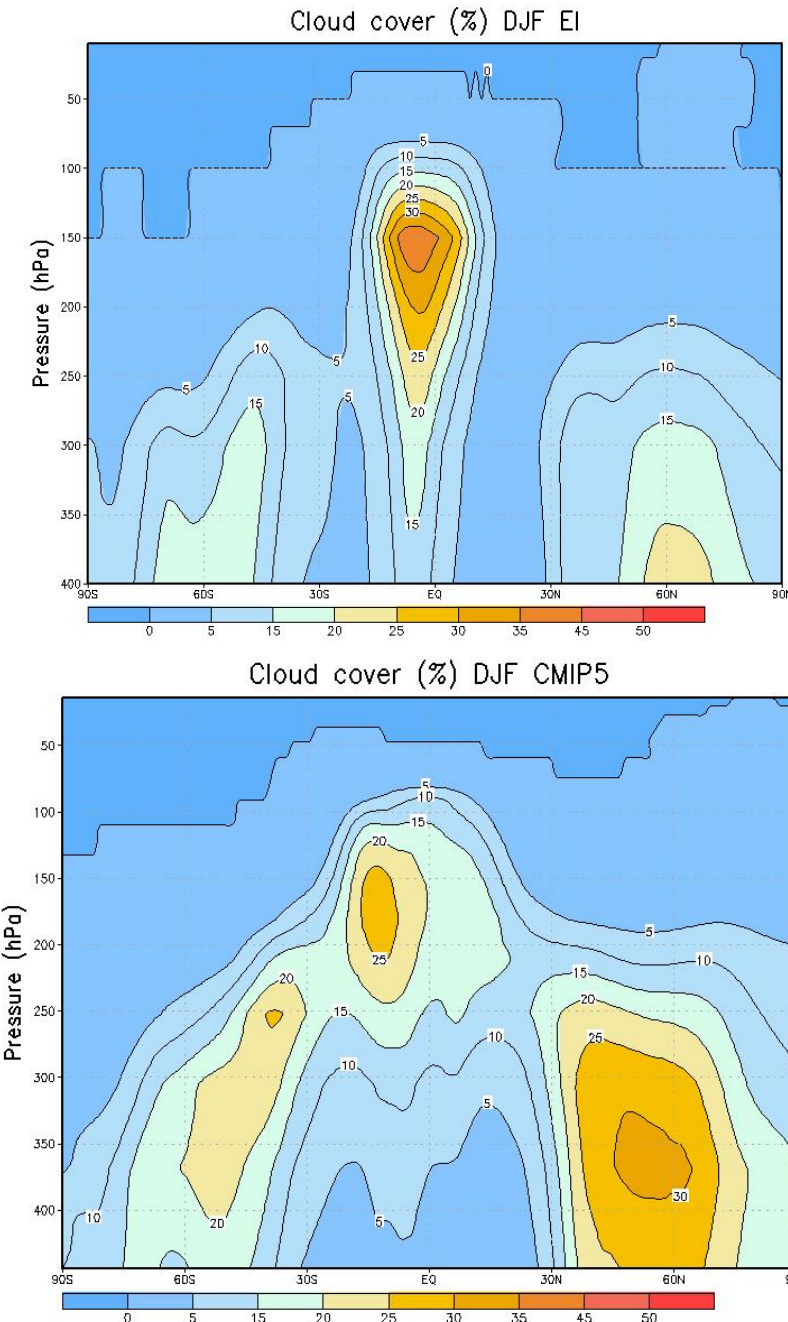


Validation of LMDZ CMIP5 simulations: Comparison with EI reanalyses



Validation of LMDZ CMIP5 simulations: Comparison with EI reanalyses



Methode de comparaison Proprietes nuageuses LMDZ – Donnees AIRS

Differentes resolutions horizontale et verticale:

- **Donnees AIRS**: 40 km x 40 km x 50 hPa
- **Sorties LMDZ**: 3.75 deg. (lon) x 1.9 deg. (lat)

Niveaux verticaux a la tropopause:

304 hPa; 252 hPa; 212 hPa; 181 hPa; 155 hPa; 131 hPa; 110 hPa; 91 hPa.

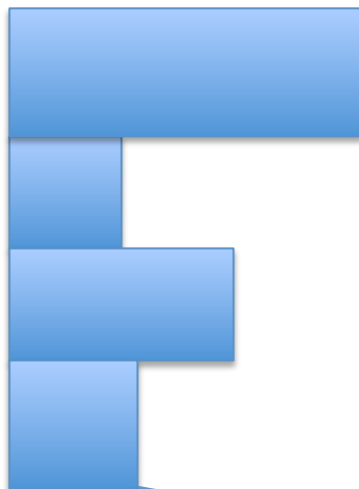
Differente resolution temporelle:

AIRS observe des champs instantanes a 1h30 et 13h30.

AIRS: pas d'information sur la distribution verticale des couches nuageuses

- Ne detecte pas les nuages dont l'epaisseur optique est inferieure a 0.05
- Detecte seulement le nuage le plus haut si son epaisseur optique est superieure a 0.05

Colonne atmosphérique de LMDZ

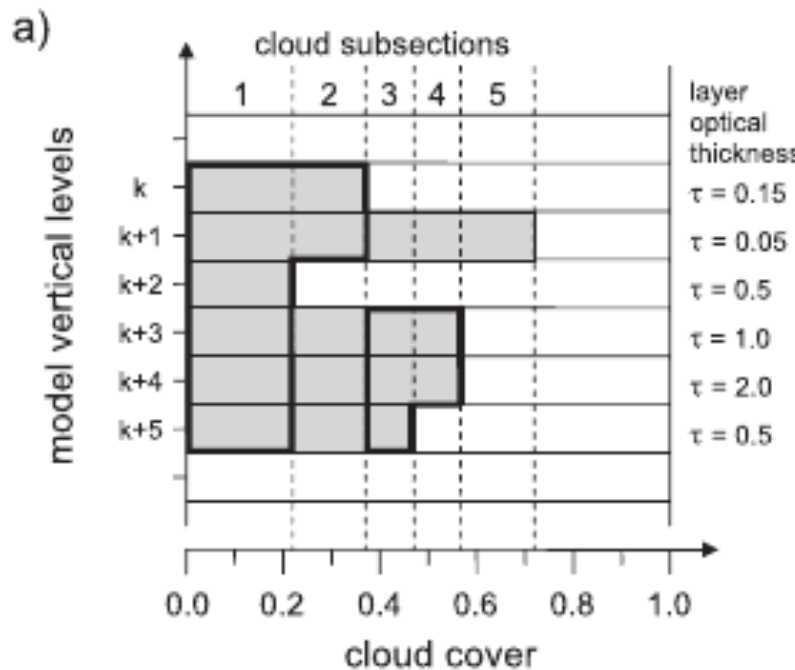


Structure nuageuse, avec couches nuageuses contigues sur la verticale:
Hypothèse de “maximum overlap”



Hypothèse de “random overlap”
pour les différentes structures nuageuses

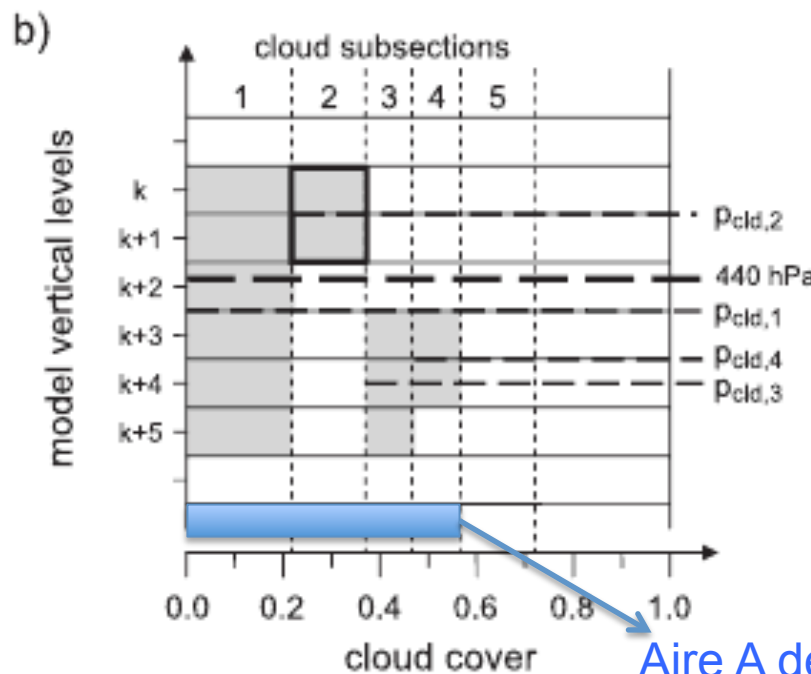




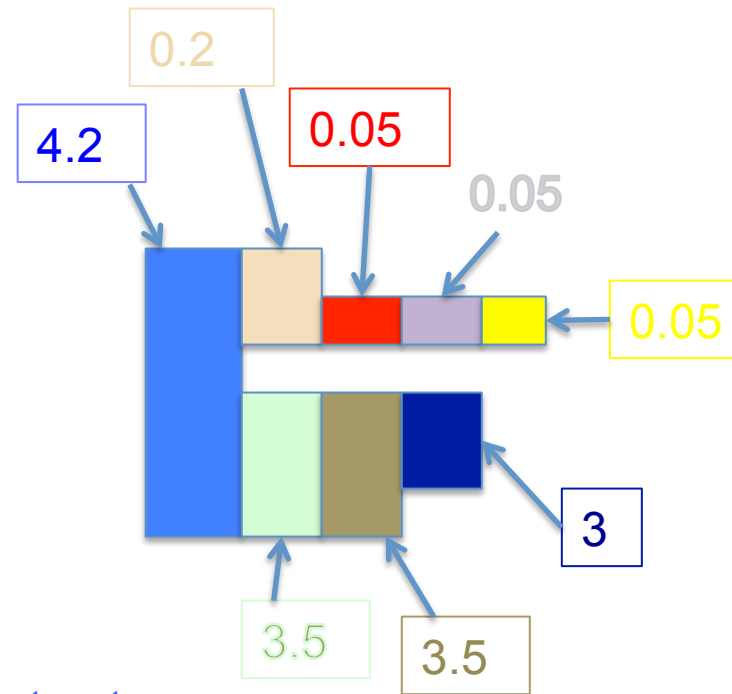
Chaque structure nuageuse est divisée en sous-sections (définies par les aires respectives des couches nuageuses).

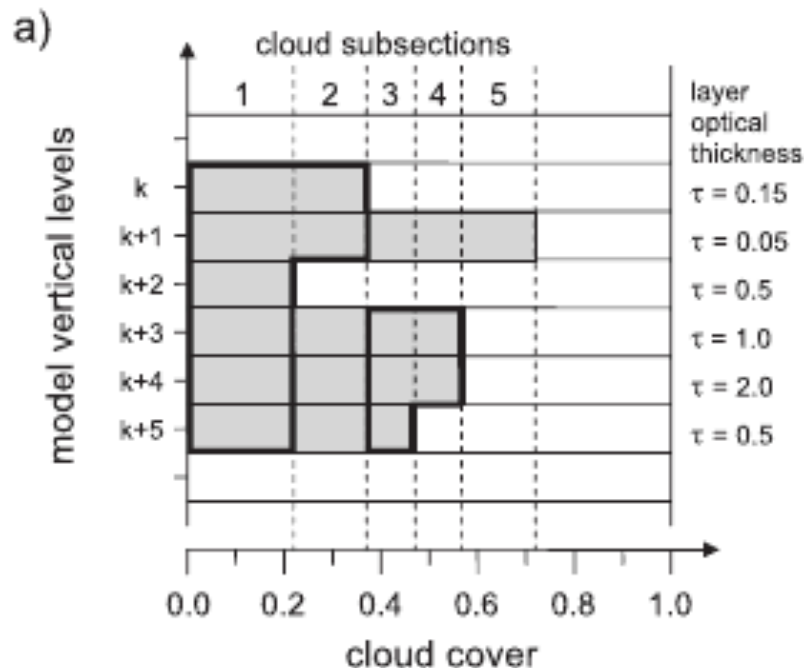
Dans chaque sous-section on somme les épaisseurs optiques des couches contigües.

Le nuage est dit détectable si $\sum \tau_i > 0.05$
Les nuages placés sous les nuages détectés ne sont pas détectés.



Aire A de la structure nuageuse





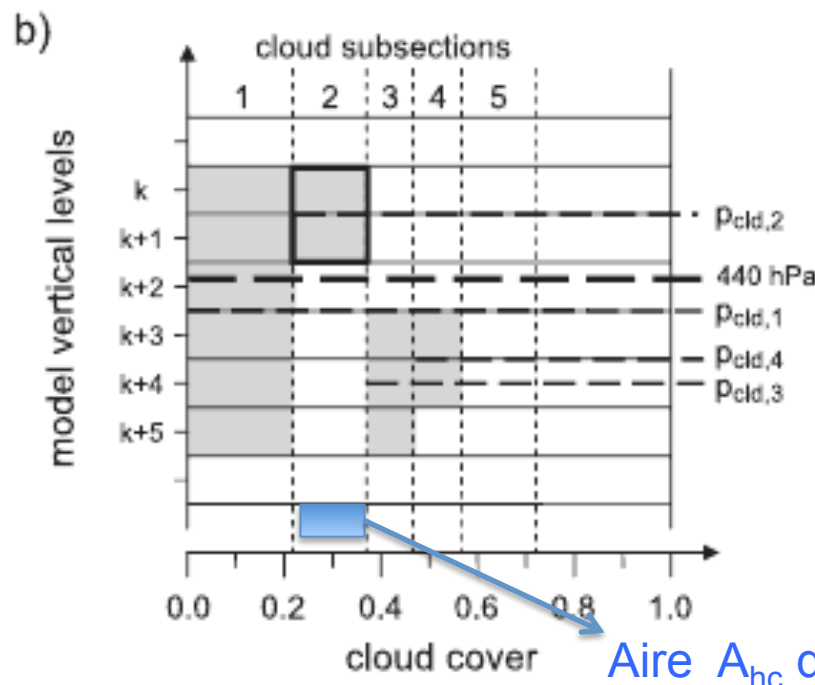
Definition des nuages hauts

On calcule p_{cld} dans chaque sous-section.

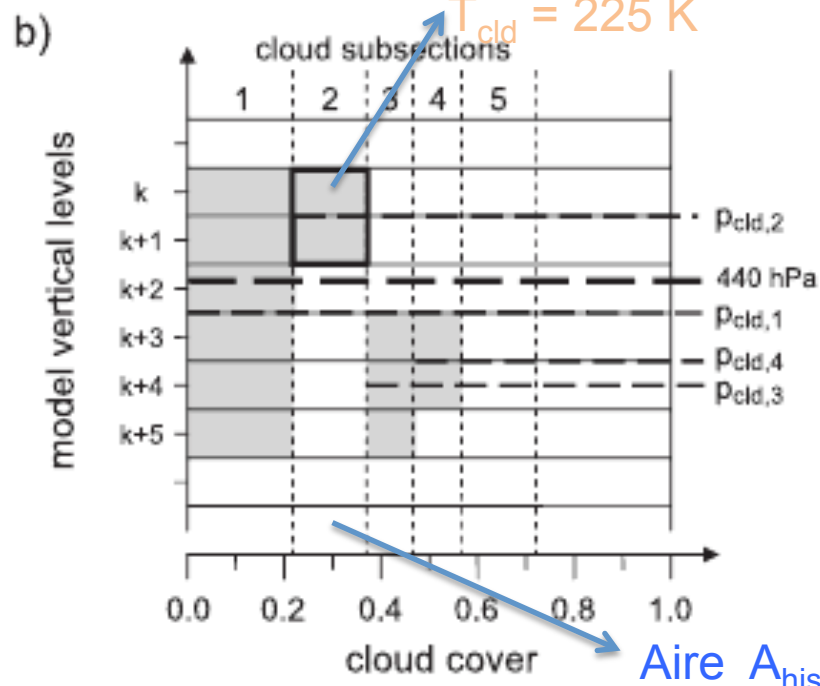
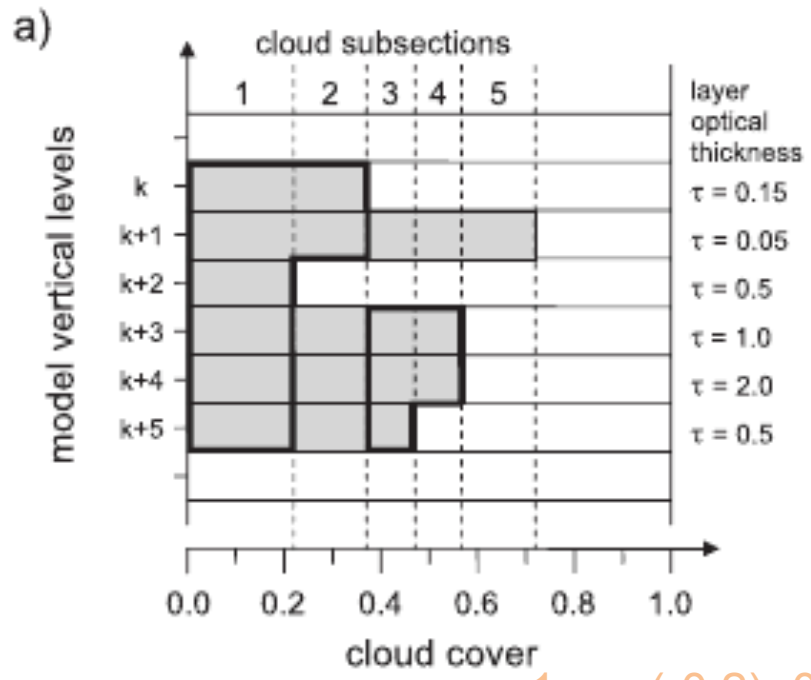
C'est le milieu entre le sommet du nuage et l'altitude où l'épaisseur optique du nuage est égale à 3.

Si le nuage n'est pas suffisamment épais, on prend le sommet du nuage.

Le nuage est dit "haut" si $p_{cld} < 440 \text{ Pa}$.



Aire A_{hc} des nuages hauts de la structure nuageuse



Definition des nuages hauts, de glace et semi-transparent

On calcule P_{cld} dans chaque sous-section.

On calcule T_{cld} dans chaque sous-section.

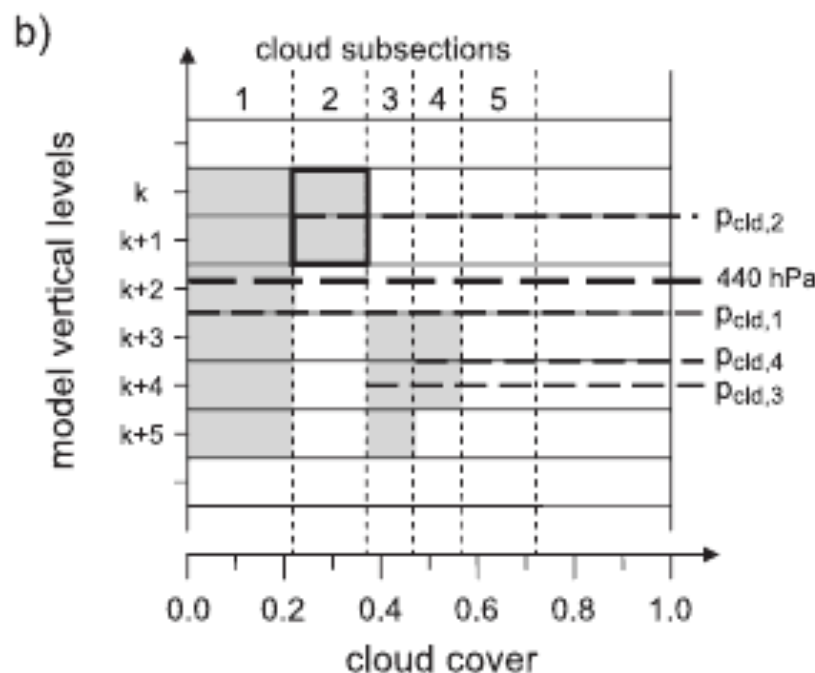
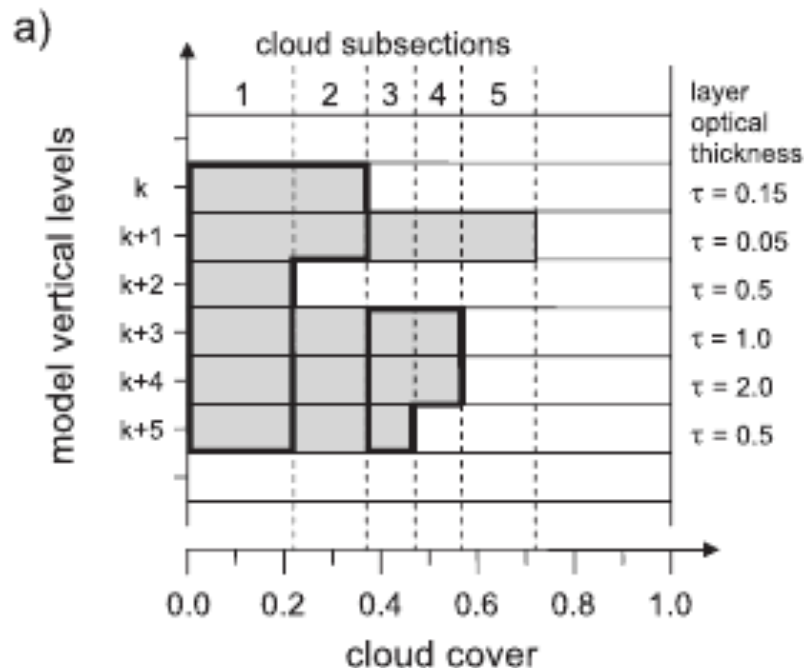
On calcule l'emissivité e dans chaque sous-section:

$$e = 1 - \exp(-\mathcal{T})$$

Un nuage est dit haut, de glace et semi-transparent lorsque:

- $P_{cld} < 440 \text{ hPa}$
- $T_{cld} < 230 \text{ K}$
- $0.2 < e < 0.85$

Aire A_{hist} des nuages hauts de glace et ST. $A_{hist} = 0$



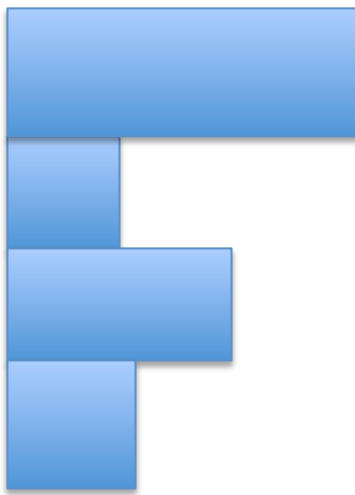
Variables definies pour chaque structure nuageuse:

- L'aire A de la structure nuageuse
- L'aire A_{hc} des nuages hauts
- L'aire A_{hist} des nuages hauts, de glace et semi-transparents
- La pression P_{cld}
- La température T_{cld}
- L'emissivité $e = 1 - \exp(-\mathcal{T})$

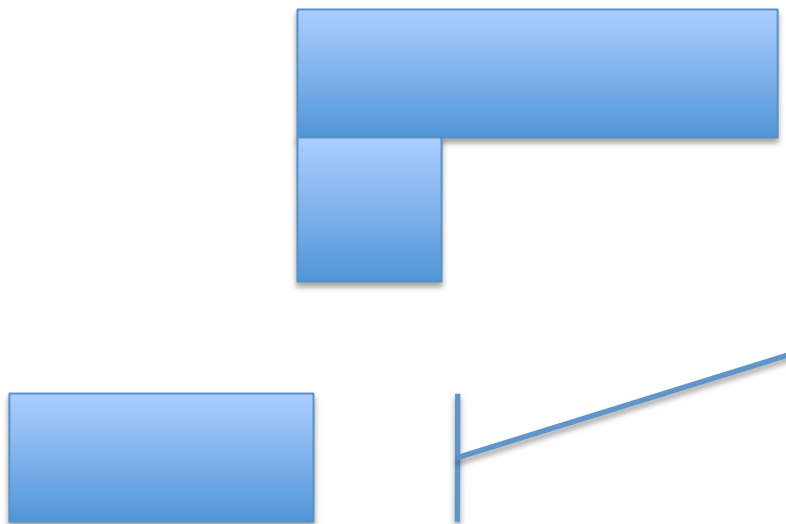
• Ice water path $IWP = \sum_i IWC_i \times \Delta z_i$

On moyenne sur la structure nuageuse en ponderant les variables definies dans chaque sous-section par l'aire de la sous-section.

Moyenne des variables sur la maille de LMDZ



- L'aire A de la structure nuageuse
- L'aire A_{hc} des nuages hauts
- L'aire A_{hist} des nuages hauts, de glace et semi-transparents
- La pression P_{cld}
- La température T_{cld}
- L'emissivité $e = 1 - \exp(-\mathcal{T})$
- Ice water path $IWP = \sum_i IWC_i \times \Delta z_i$



$$\bar{A} = 1 - \prod_j (1 - A_j)$$

$$\bar{A}_{hc} = A_{hc1} + \sum_{j=2}^N \left[A_{hcj} \times \prod_{i=1}^{j-1} (1 - A_i) \right]$$

$$\bar{X}_{hc} = \frac{1}{\bar{A}_{hc}} \left[A_{hc1} X_1 + \sum_{j=2}^N (A_{hcj} X_j \times \prod_{i=1}^{j-1} (1 - A_i)) \right]$$

Sensitivity to microphysical processes

$$wv_{strato} = (1 - f_{tropo}) \cdot wv_{[CH_4]} + f_{tropo} \cdot \underbrace{[wv(T_{TTL}) + wv_{con} + wv_{ov} + wv_{\mu\varphi}]}_{wv_{tropo}}$$



1. Sensibilité à la température du changement de phase glace/eau liquide
2. Sensibilité à la sursaturation
3. Overshoots

Couverture de nuages hauts

| Winter | Tropics | NH | SH |
|------------------|---------|-----|-----|
| | | | |
| NPV4_03 | 41% | 24% | 19% |
| NPV4_12 | 42% | 26% | 21% |
| NPV4_12tglaceOff | 42 | 24 | 19 |
| Guignard et al. | 42% | 22% | 14% |

| Summer | Tropics | NH | SH |
|------------------|---------|-----|-----|
| | | | |
| NPV4_03 | 37% | 20% | 27% |
| NPV4_12 | 39% | 23% | 27% |
| NPV4_12tglaceOff | 39% | 23% | 26% |
| Guignard et al. | 39% | 26% | 23% |

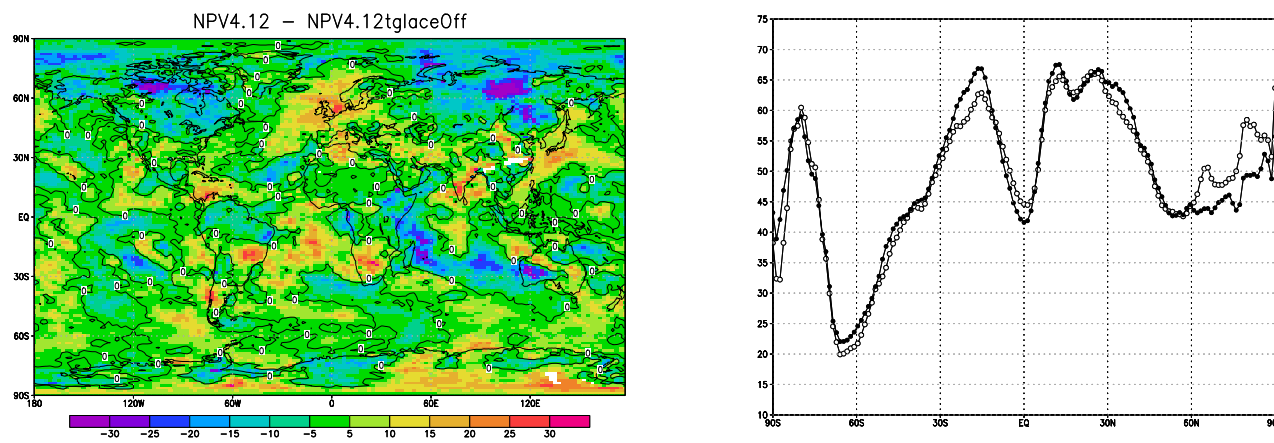
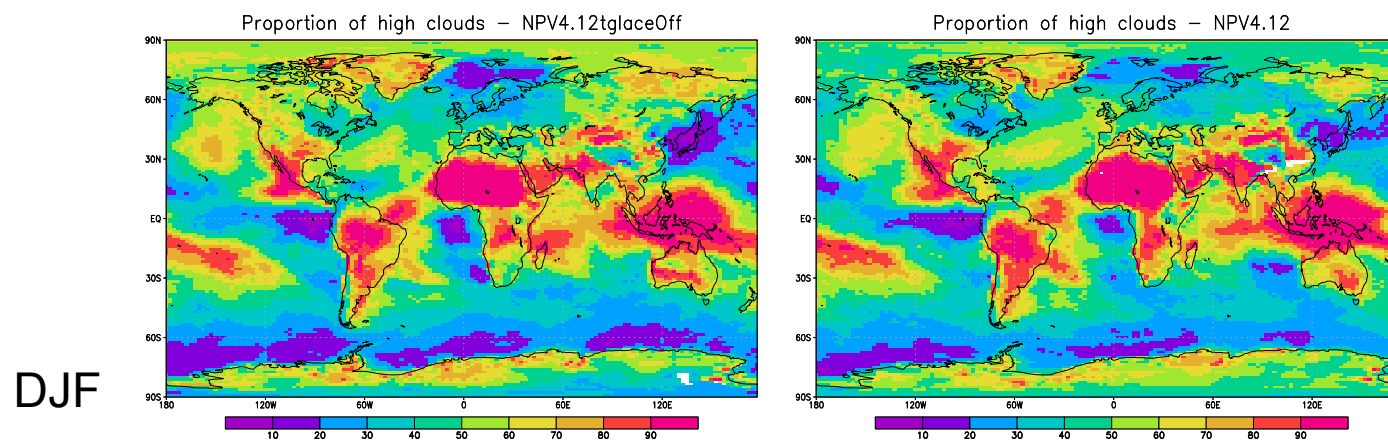
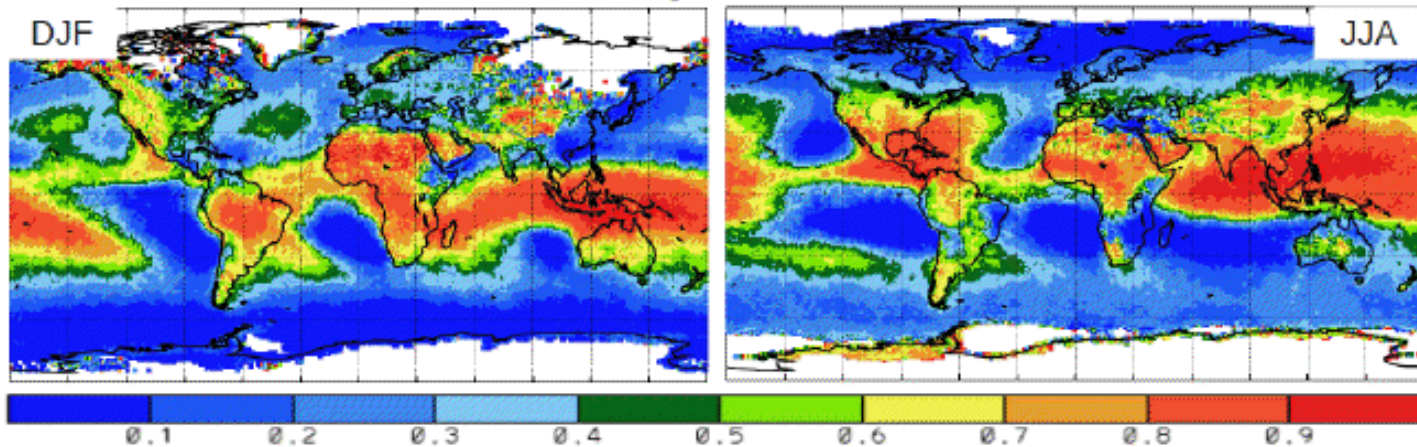
Proportion de nuages hauts

| Winter | Tropics | NH | SH |
|------------------|---------|-----|-----|
| | | | |
| NPV4_03 | 59% | 44% | 28% |
| NPV4_12 | 63% | 43% | 31% |
| NPV4_12tgleceOff | 63% | 44% | 28% |
| Guignard et al. | 62% | 31% | 14% |

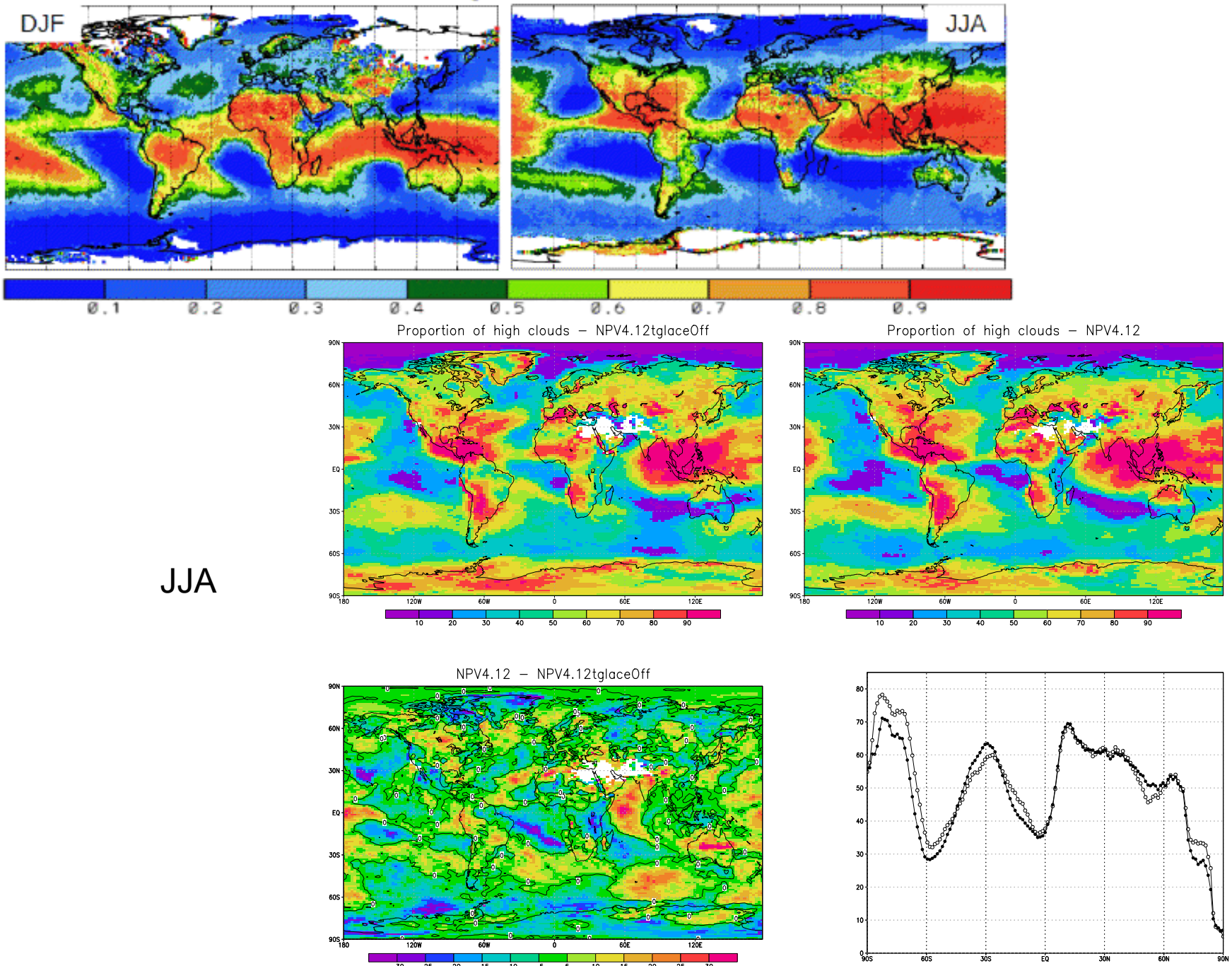
| Summer | Tropics | NH | SH |
|------------------|---------|-----|-----|
| | | | |
| NPV4_03 | 55% | 50% | 36% |
| NPV4_12 | 59% | 55% | 36% |
| NPV4_12tgleceOff | 58% | 52% | 35% |
| Guignard et al. | 58% | 32% | 28% |

Trop de nuages hauts aux moyennes latitudes

Relative High Cloud Amount



Relative High Cloud Amount



Couverture de nuages hauts de glace et semi-transparents

| Winter | Tropics | NH | SH |
|------------------|---------|----|----|
| | | | |
| NPV4_03 | 14 | 12 | 8 |
| NPV4_12 | 16 | 11 | 8 |
| NPV4_12tglaceOff | 15 | 11 | 8 |
| Guignard et al. | 12 | 11 | 1 |

| Summer | Tropics | NH | SH |
|------------------|---------|----|----|
| | | | |
| NPV4_03 | 13 | 9 | 13 |
| NPV4_12 | 14 | 9 | 12 |
| NPV4_12tglaceOff | 15 | 9 | 12 |
| Guignard et al. | 10 | 4 | 10 |

Proportion de nuages hauts de glace et semi-transparents

| Winter | Tropics | NH | SH |
|------------------|---------|-----|----|
| | | | |
| NPV4_03 | 21 | 23 | 12 |
| NPV4_12 | 23 | 19 | 12 |
| NPV4_12tgleceOff | 23 | 22% | 12 |
| Guignard et al. | 18% | 15% | 1% |

| Summer | Tropics | NH | SH |
|------------------|---------|-----|-----|
| | | | |
| NPV4_03 | 20% | 22% | 18% |
| NPV4_12 | 21% | 23% | 16% |
| NPV4_12tgleceOff | 21 | 23 | 17 |
| Guignard et al. | 15% | 4% | 12% |

Trop de nuages hauts de glace et ST aux moyennes latitudes

Epaisseur des nuages hauts de glace et semi-transparents

| Winter | Tropics | NH | SH |
|------------------|---------|------|------|
| | | | |
| NPV4_03 | 2980 | 3410 | 2810 |
| NPV4_12 | 2910 | 2920 | 2540 |
| NPV4_12tglaceOff | 2930 | 3190 | 2620 |
| Guignard et al. | 4900 | 5500 | 5000 |

| Summer | Tropics | NH | SH |
|------------------|---------|------|------|
| | | | |
| NPV4_03 | 2940 | 2560 | 3260 |
| NPV4_12 | 2870 | 2310 | 2950 |
| NPV4_12tglaceOff | 2940 | 2320 | 2980 |
| Guignard et al. | 4500 | 3800 | 5900 |

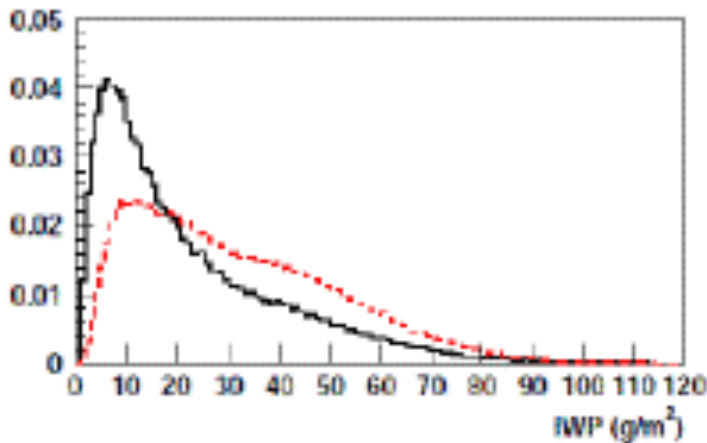
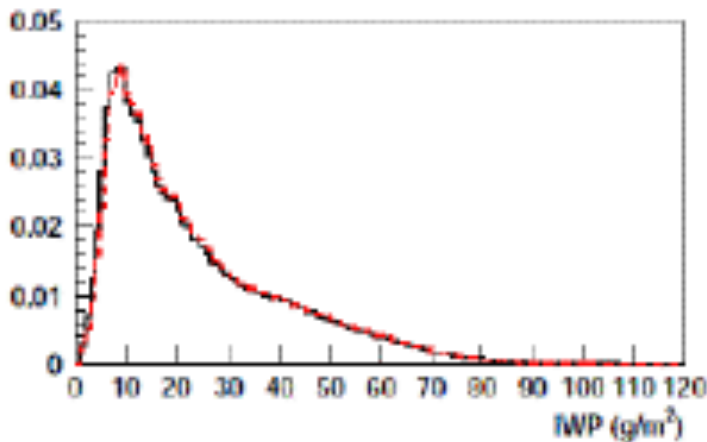
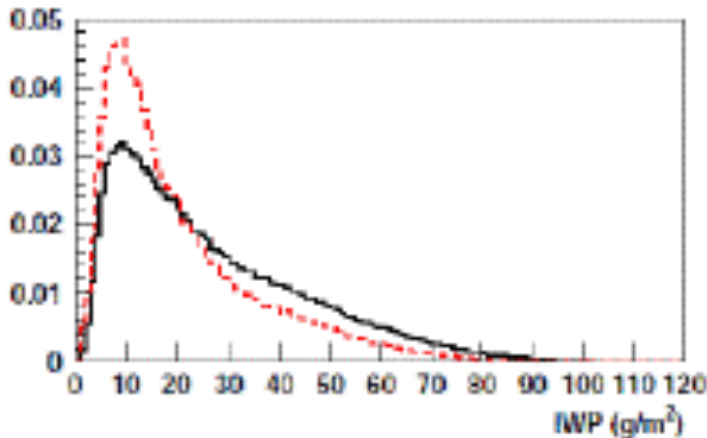
Dans NPV4_12 diminution de l'épaisseur des nuages.
 Nuages trop fins

Rayon des cristaux de glace dans les nuages hauts de glace semi-transparents

| Winter | Tropics | NH | SH |
|------------------|---------|----|----|
| | | | |
| NPV4_03 | 28 | 29 | 28 |
| NPV4_12 | 27 | 29 | 28 |
| NPV4_12tglaceOff | 28 | 29 | 29 |
| Guignard et al. | 25 | 27 | 23 |

| Summer | Tropics | NH | SH |
|------------------|---------|----|----|
| | | | |
| NPV4_03 | 28 | 31 | 28 |
| NPV4_12 | 28 | 31 | 28 |
| NPV4_12tglaceOff | 28 | 32 | 28 |
| Guignard et al. | 27 | 27 | 27 |

IWP des nuages de glace hauts et ST

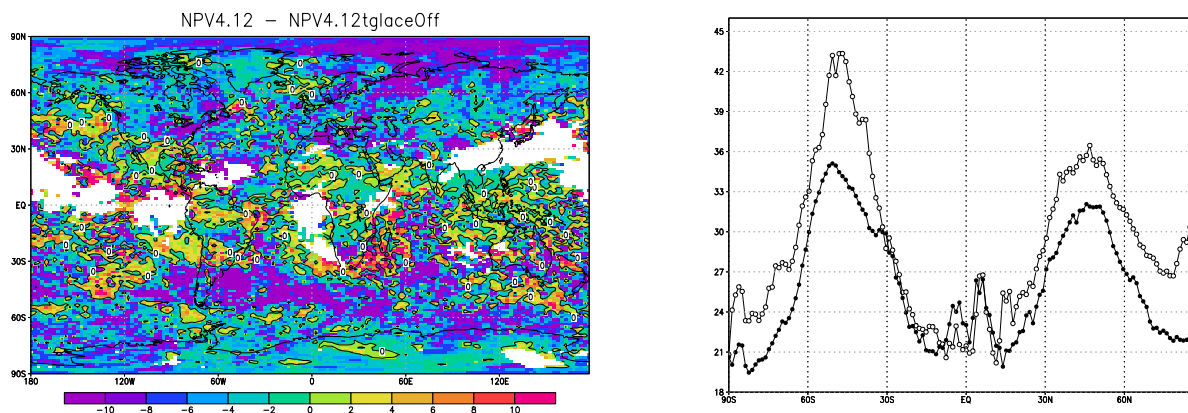
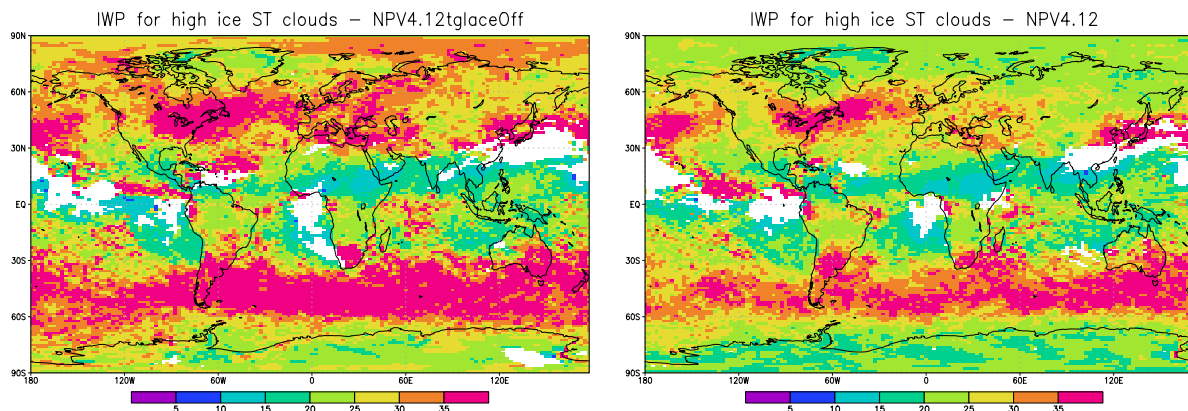
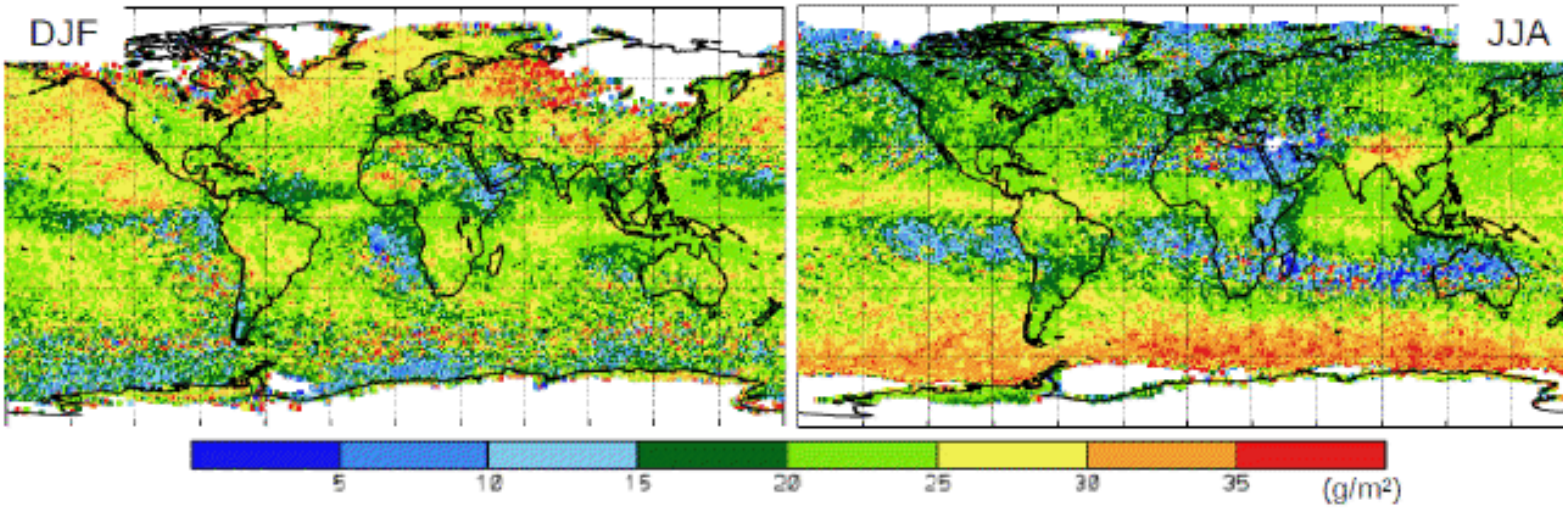


Mediane des IWP pour les nuages hauts de glace et semi-transparents

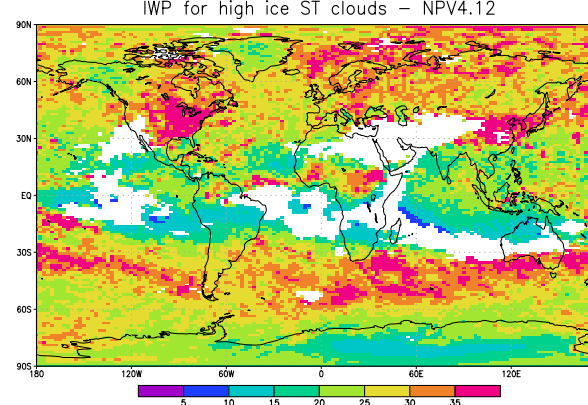
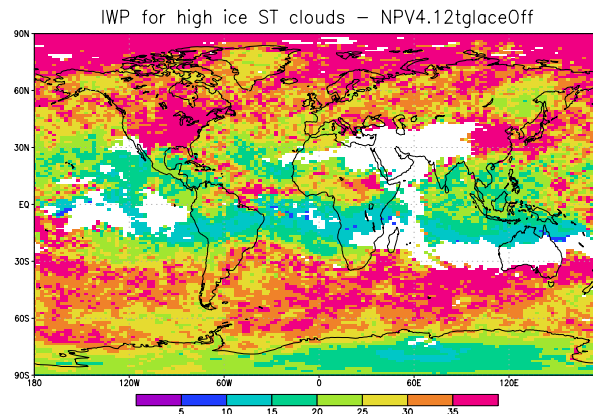
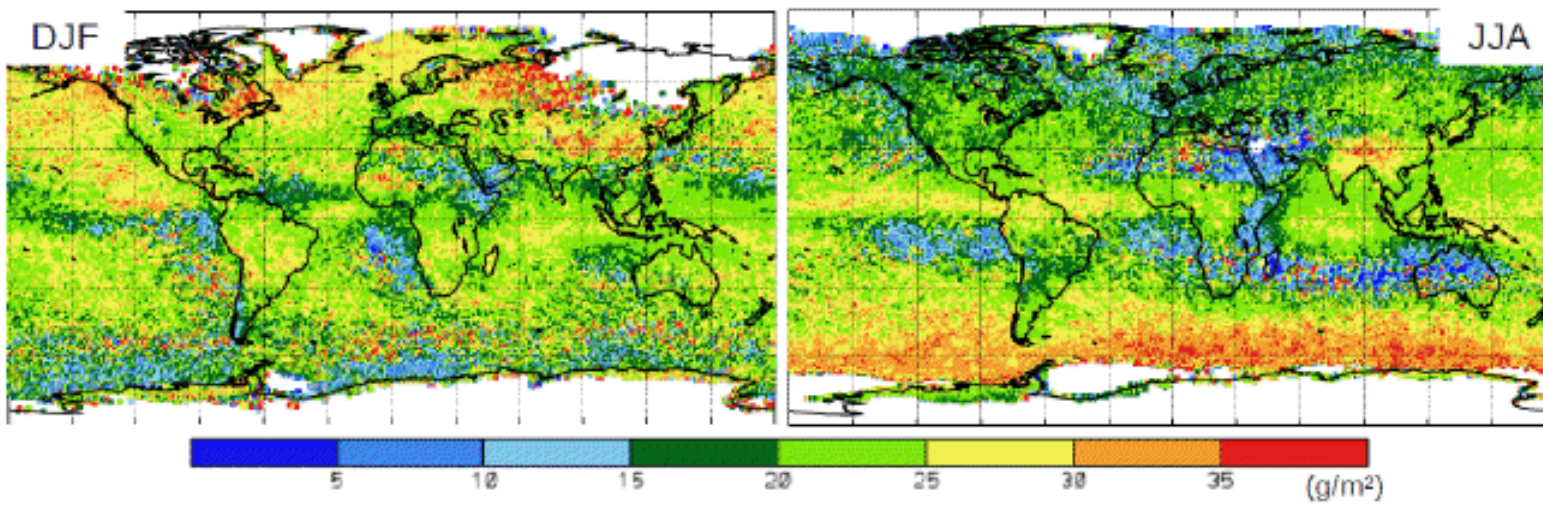
| Winter | Tropics | NH | SH |
|------------------|---------|----|----|
| | | | |
| NPV4_03 | 19 | 26 | 30 |
| NPV4_12 | 19 | 24 | 27 |
| NPV4_12tglaceOff | 19 | 26 | 29 |
| Guignard et al. | 19 | 25 | 18 |
| Summer | Tropics | NH | SH |
| | | | |
| NPV4_03 | 18 | 26 | 26 |
| NPV4_12 | 18 | 23 | 24 |
| NPV4_12tglaceOff | 18 | 24 | 26 |
| Guignard et al. | 20 | 17 | 30 |

Dans NPV4_12 legere diminution de IWP aux moyennes latitudes

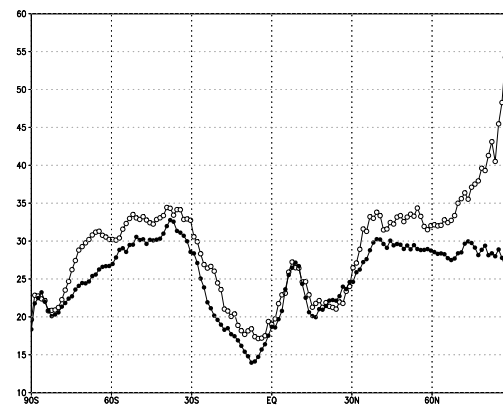
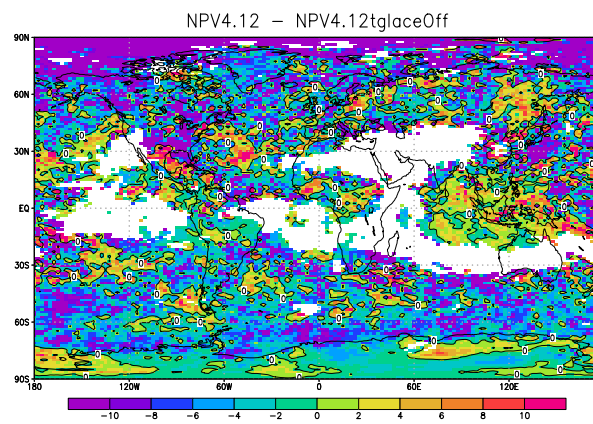
Ice Water Path



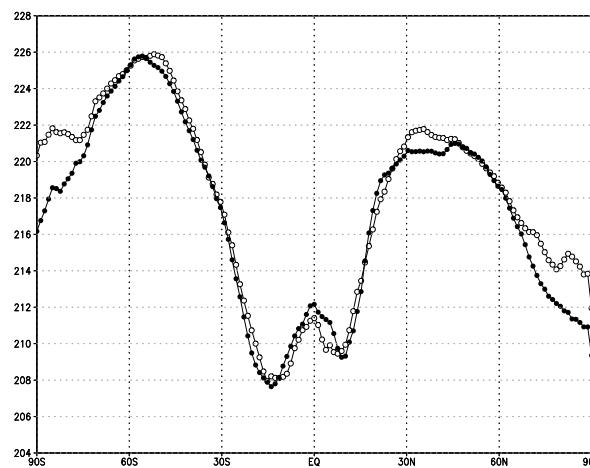
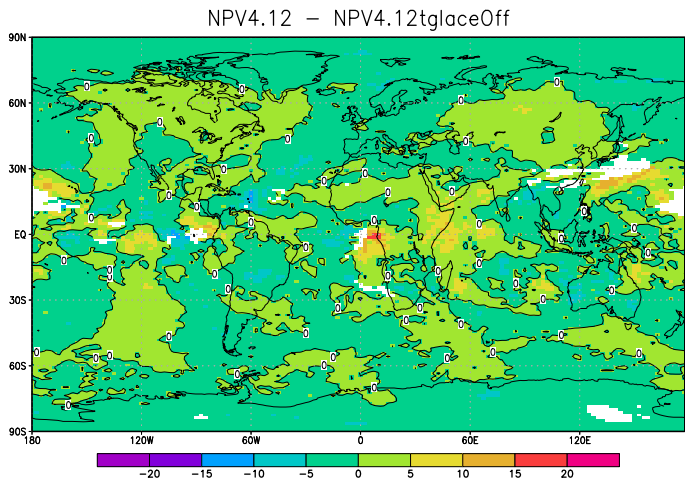
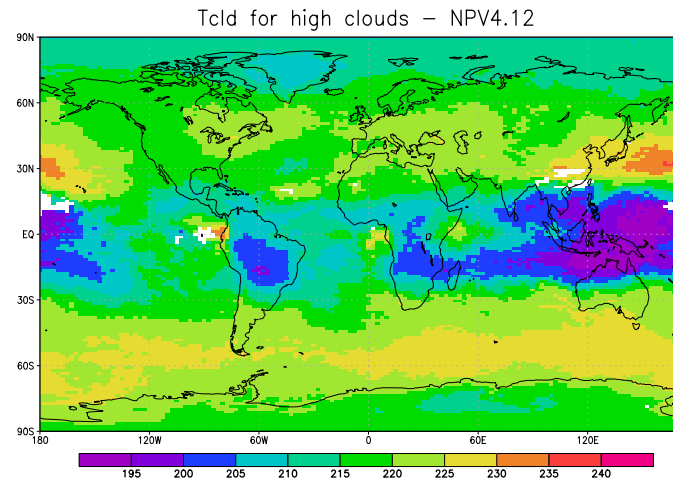
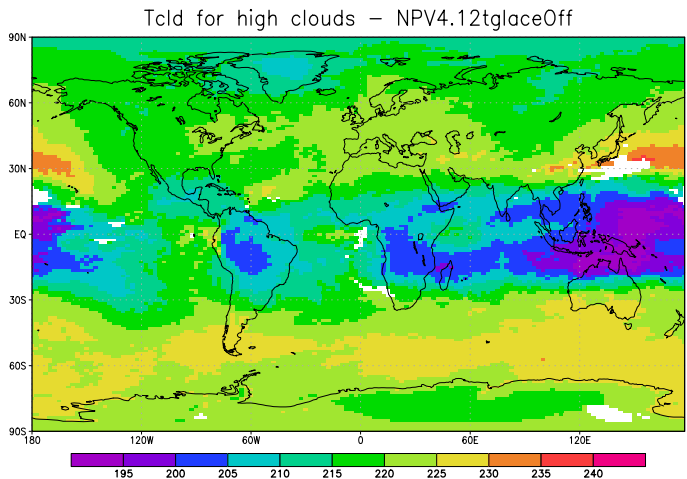
Ice Water Path



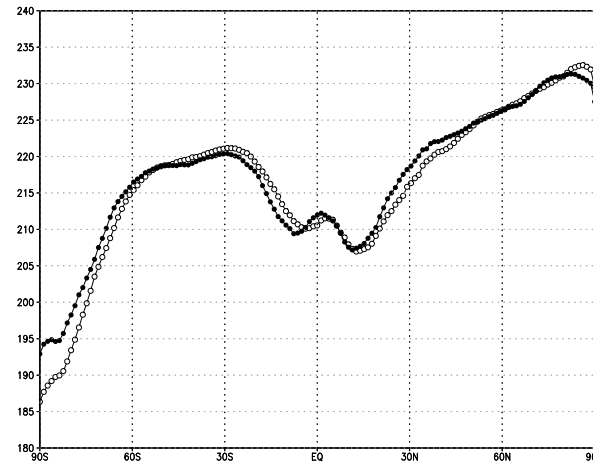
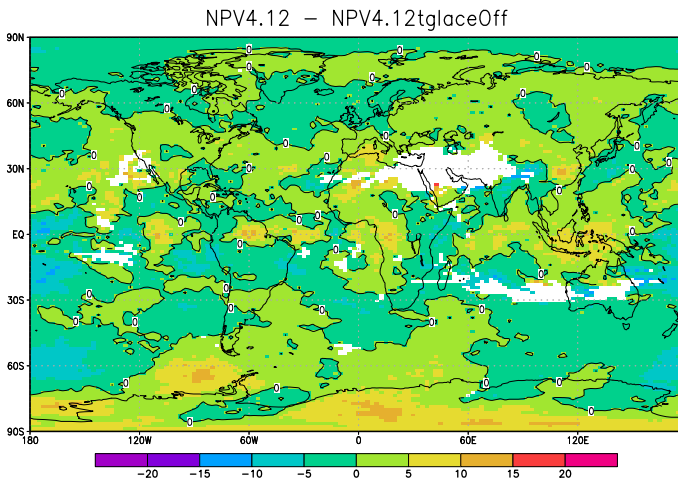
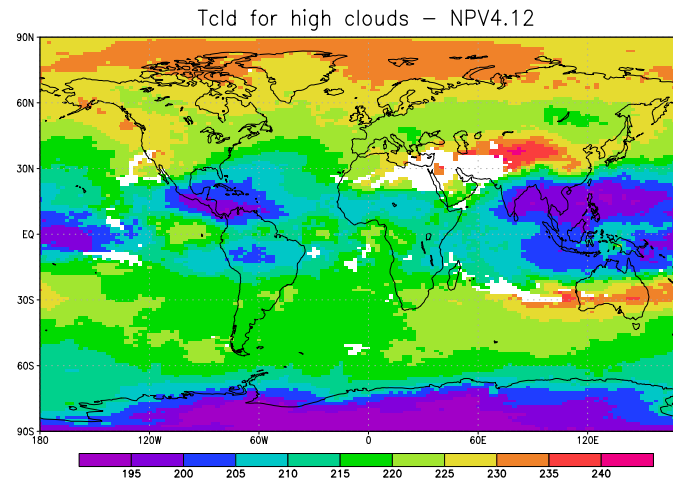
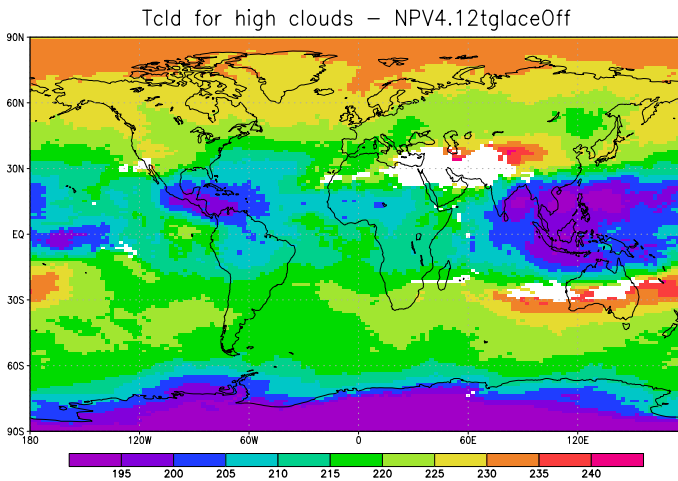
JJA



Tcld high clouds DJF



Tcld high clouds JJA



Sensitivity to microphysical processes

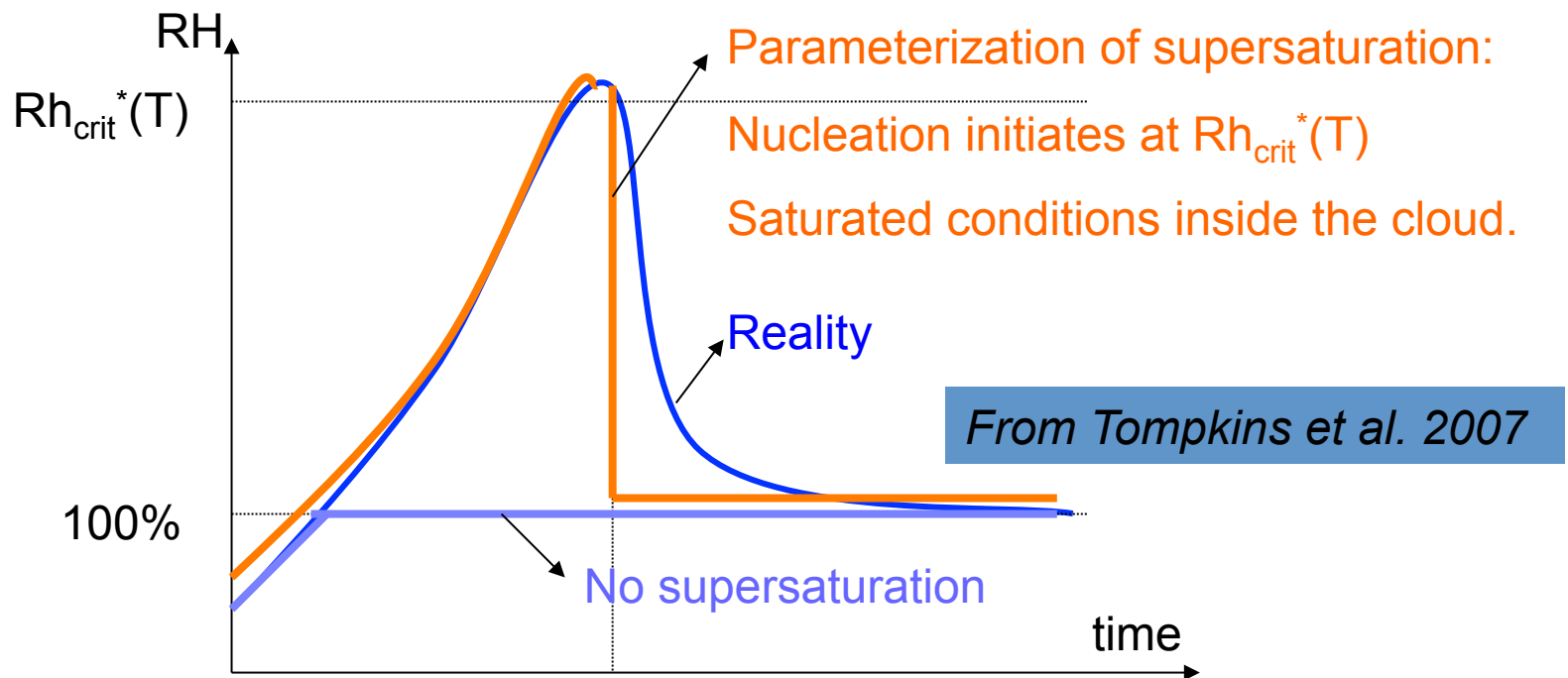
$$wv_{strato} = (1 - f_{tropo}) \cdot wv_{[CH_4]} + f_{tropo} \cdot \underbrace{[wv(T_{TTL}) + wv_{con} + wv_{ov} + wv_{\mu\varphi}]}_{wv_{tropo}}$$

-
1. Sensibilité à la température du changement de phase glace/eau liquide
 2. Sensibilité à la sursaturation
 3. Overshoots

Parameterization of supersaturation in LMDZ

Ice nucleation process can be homogeneous and heterogeneous.

We consider only the homogeneous process.



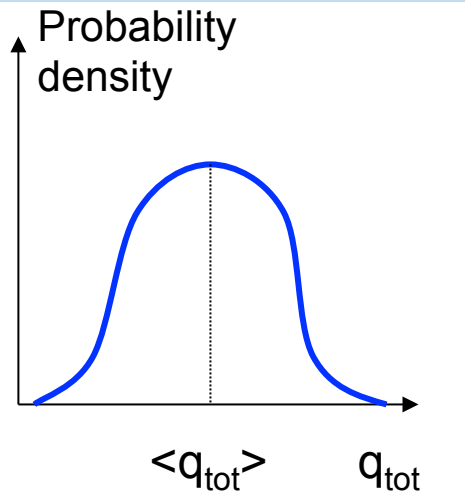
$RH_{crit}^*(T)$ as in *Kaercher and Lohmann (2002)*:

$T = 235\text{ K}$ 45% supersaturation

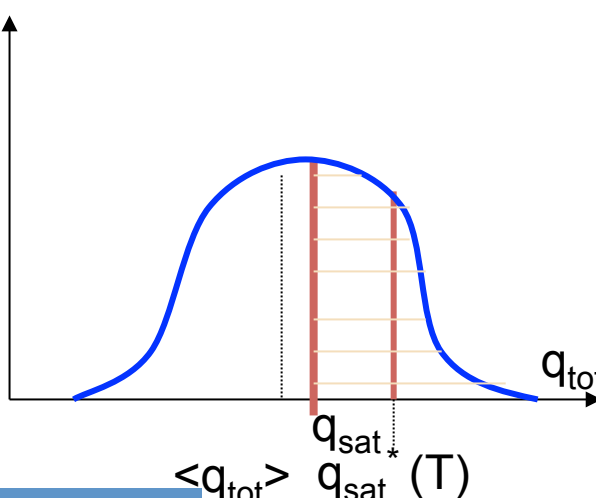
$T = 190\text{ K}$ 67% supersaturation

Parameterization of supersaturation in LMDZ

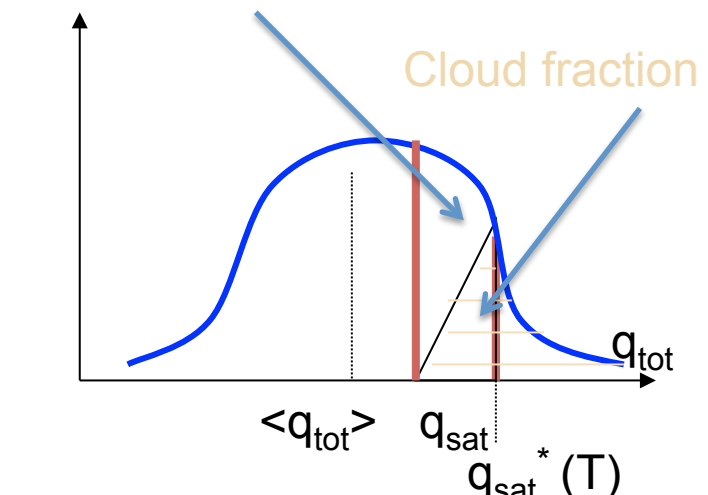
Bony and Emanuel 2001



Without supersaturation



Supersaturated air fraction



With supersaturation

Cloud fraction:

$$f = \int_{q_{sat}}^{\infty} P(q_{tot}) dq_{tot}$$

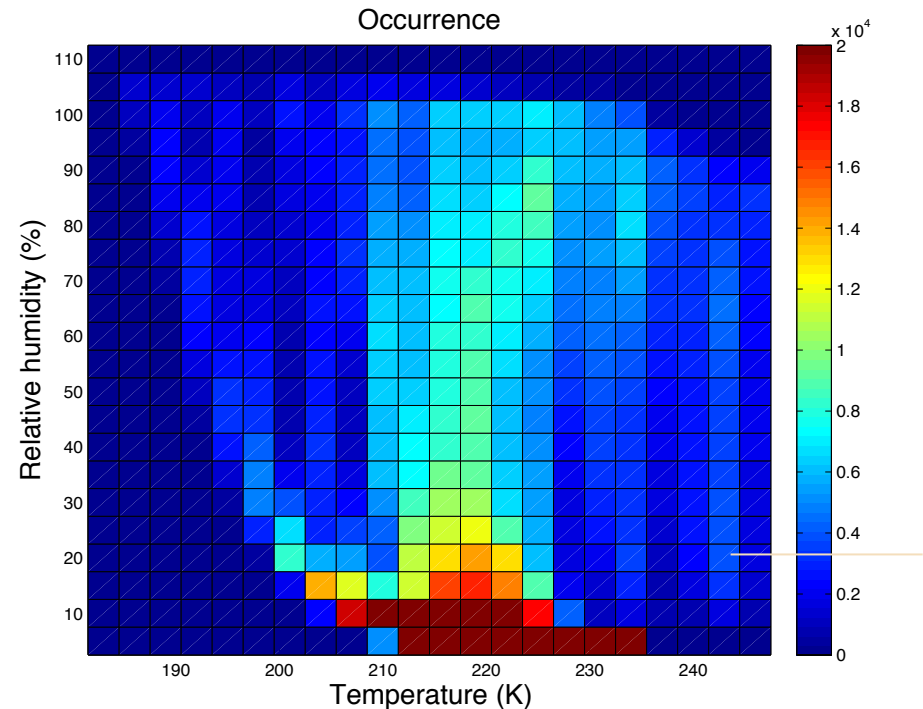
Amount of total water in cloud:

$$q_{cloud} = \frac{1}{f} \int_{q_{sat}}^{\infty} q_{tot} P(q_{tot}) dq_{tot}$$

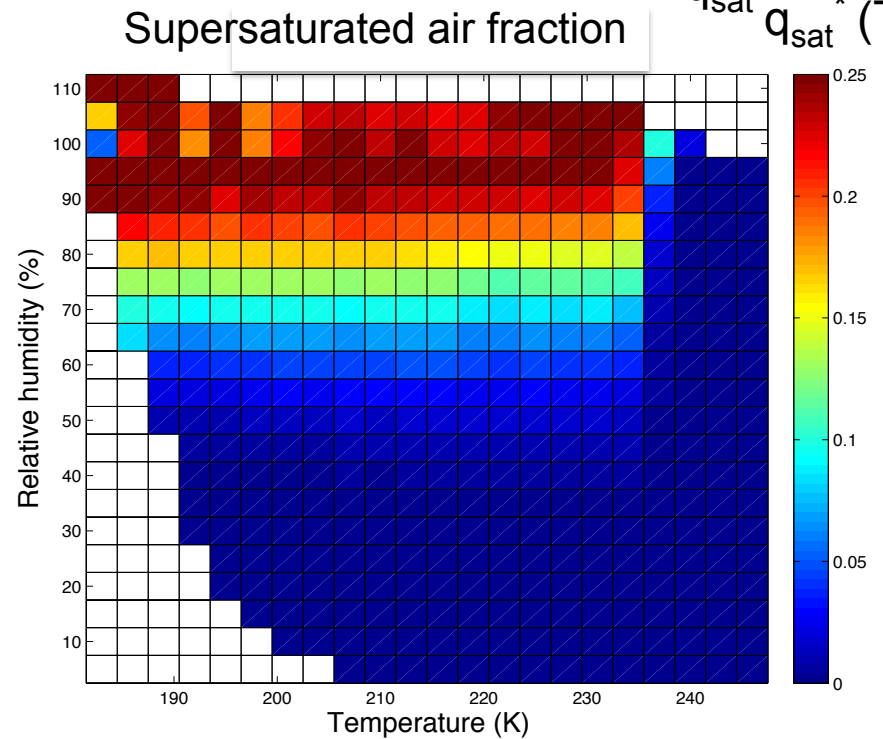
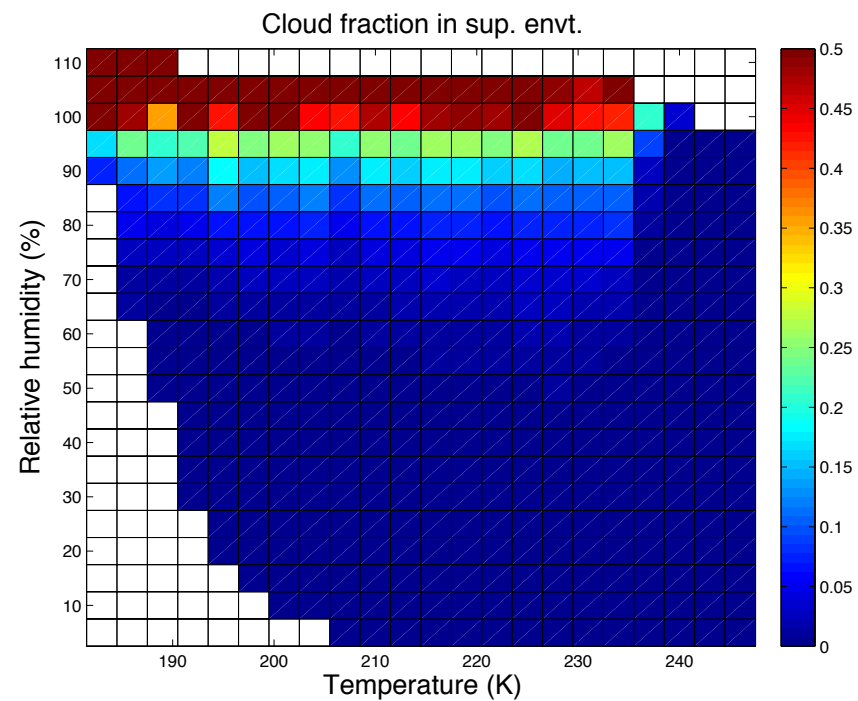
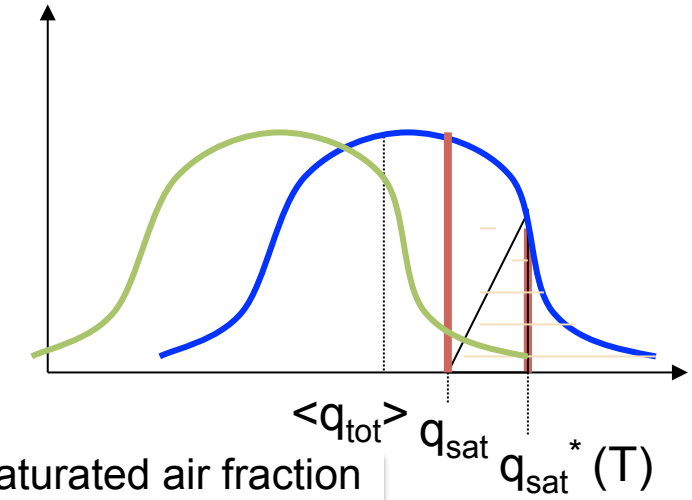
$q_{tot} > q_{sat}$ possible in clear sky

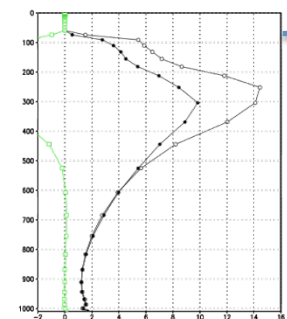
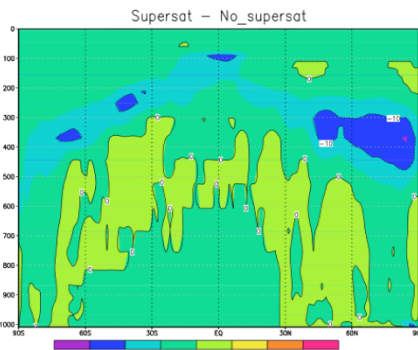
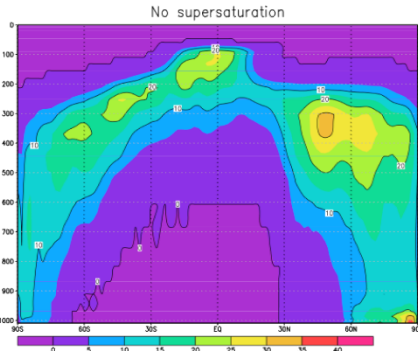
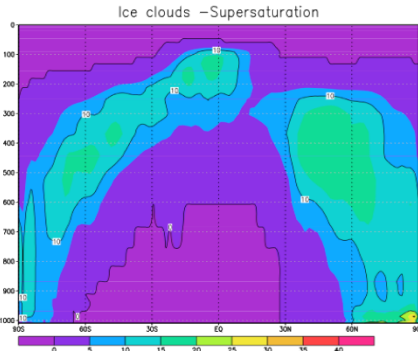
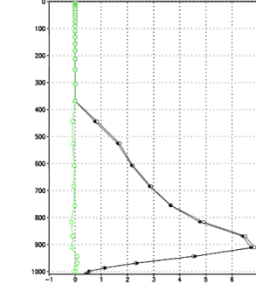
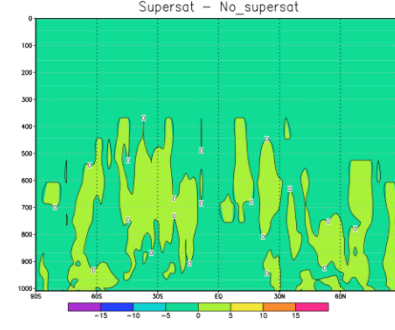
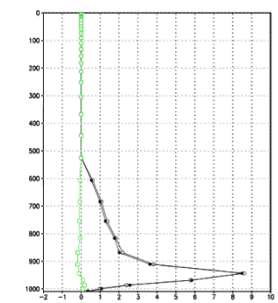
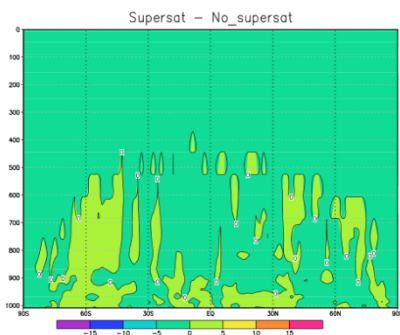
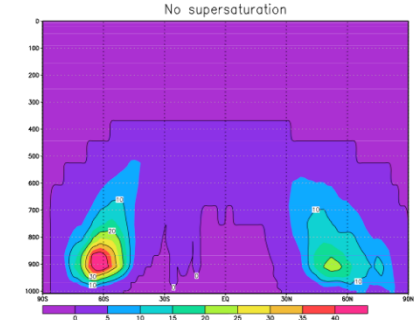
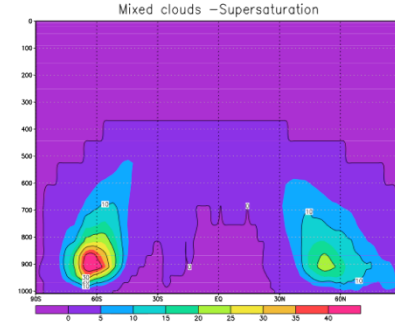
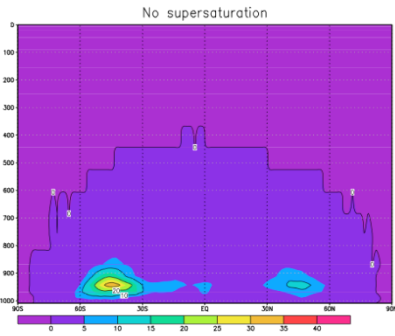
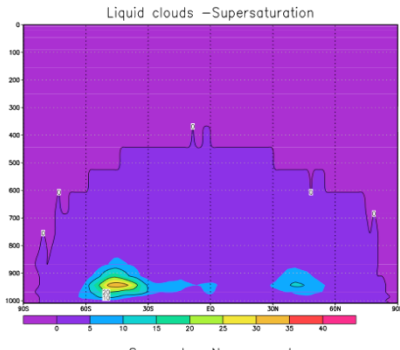
Amount of condensed water in the grid box:

$$q_{cond} = f \cdot (q_{cloud} - q_{sat})$$



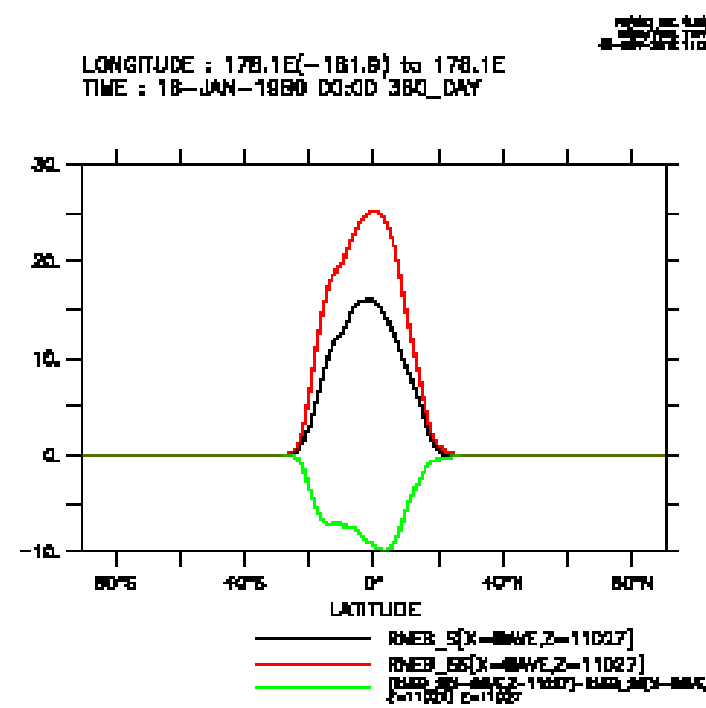
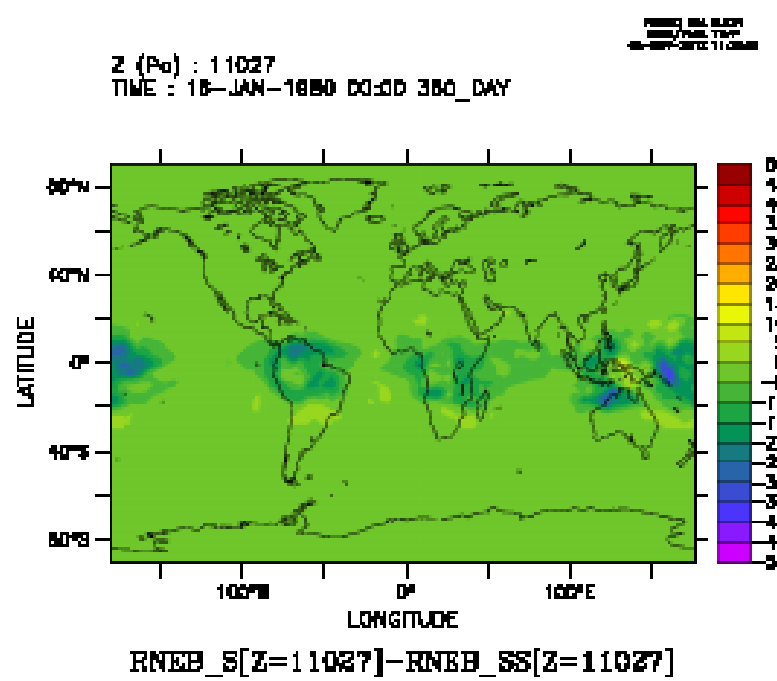
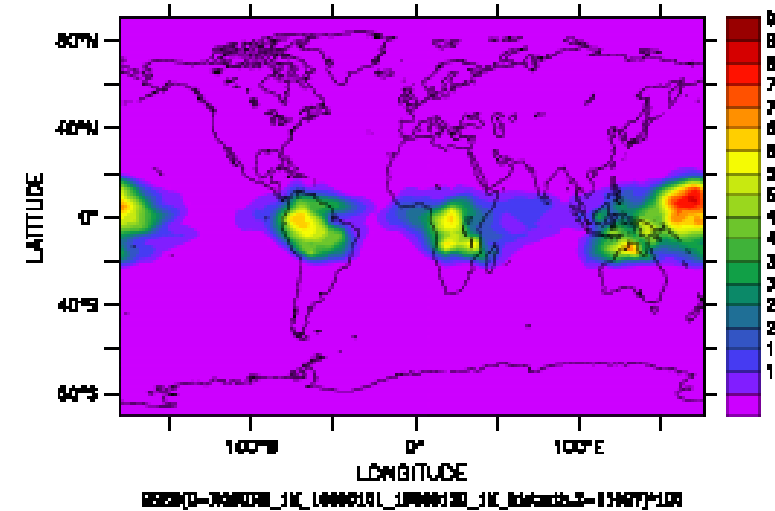
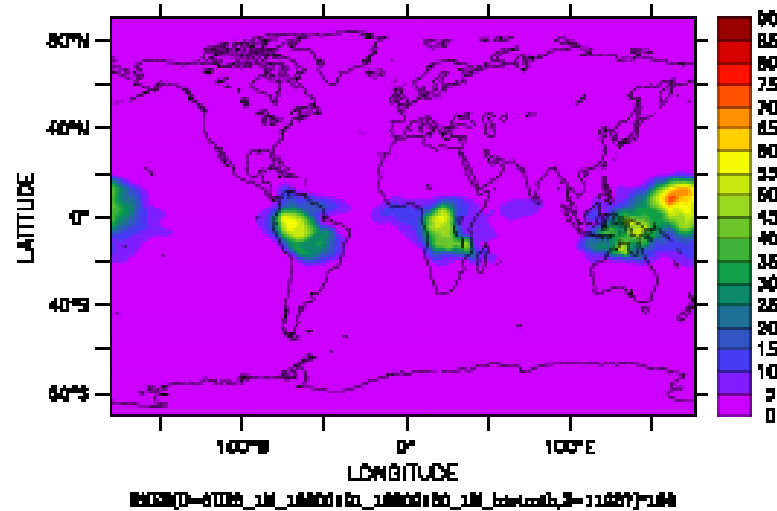
Diagnostics for supersaturation scheme



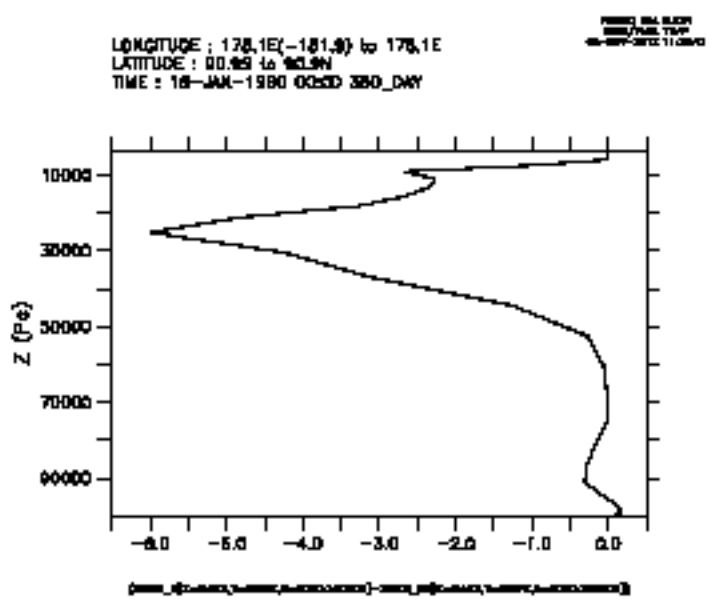
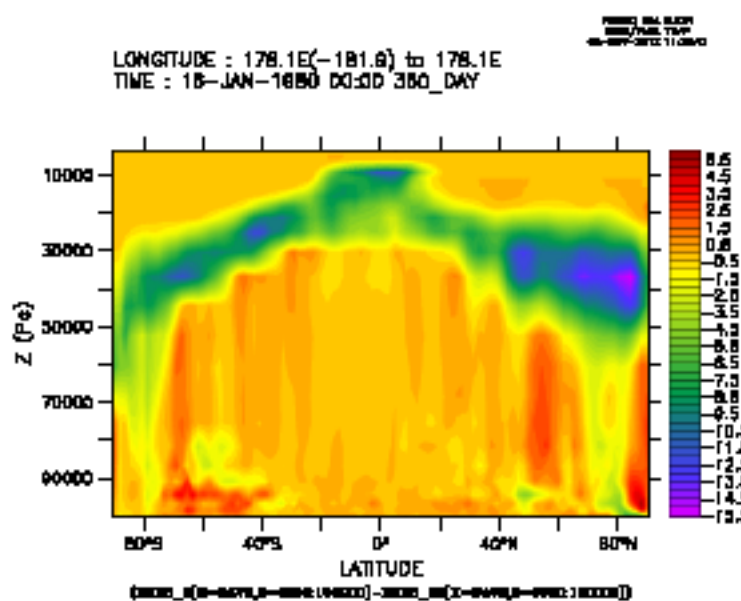
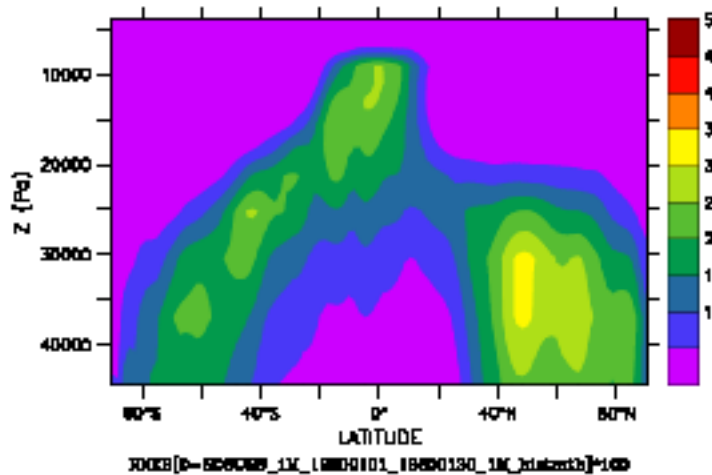
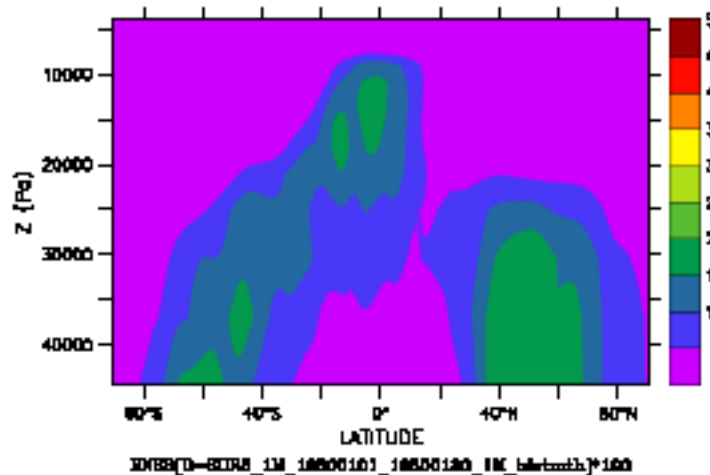


The supersaturation scheme
only affects ice clouds.

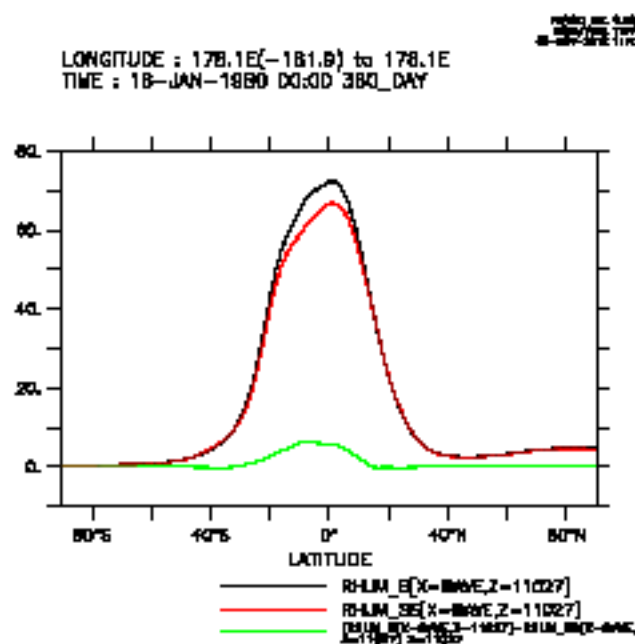
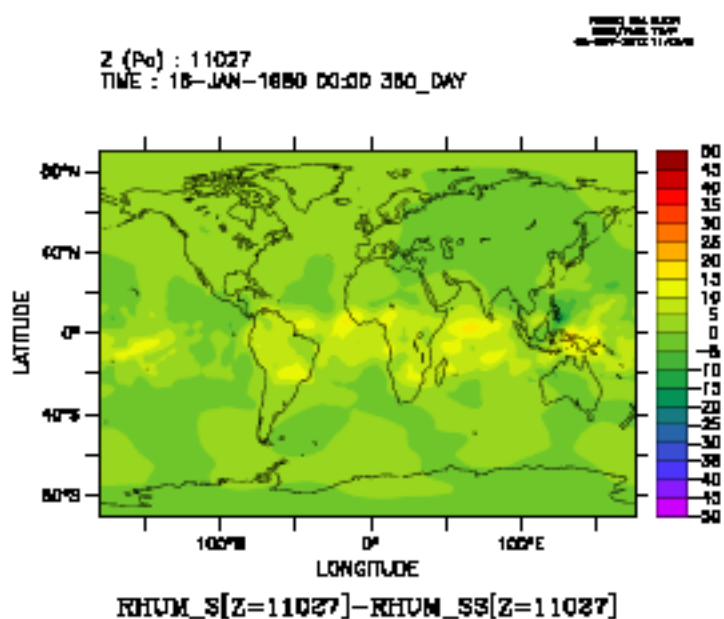
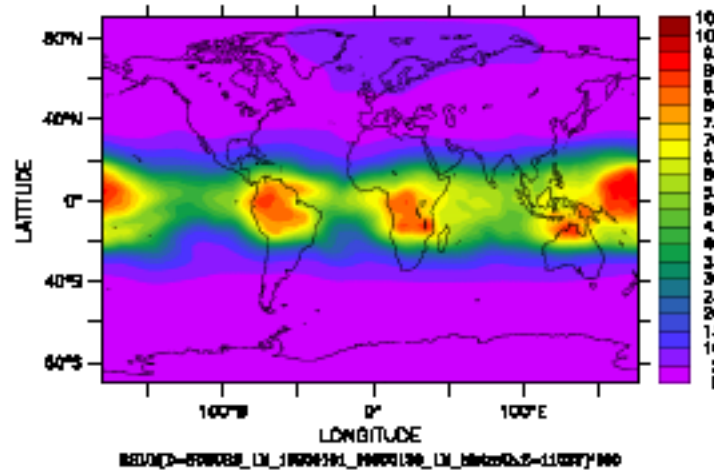
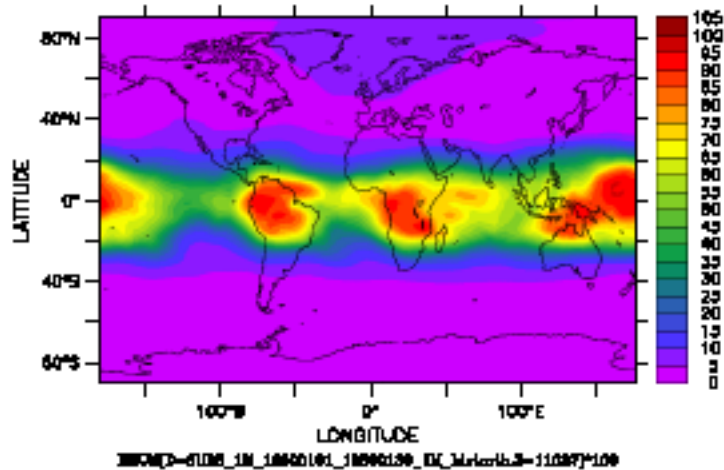
Effect of the supersaturation scheme on the cloud cover at 110 hPa



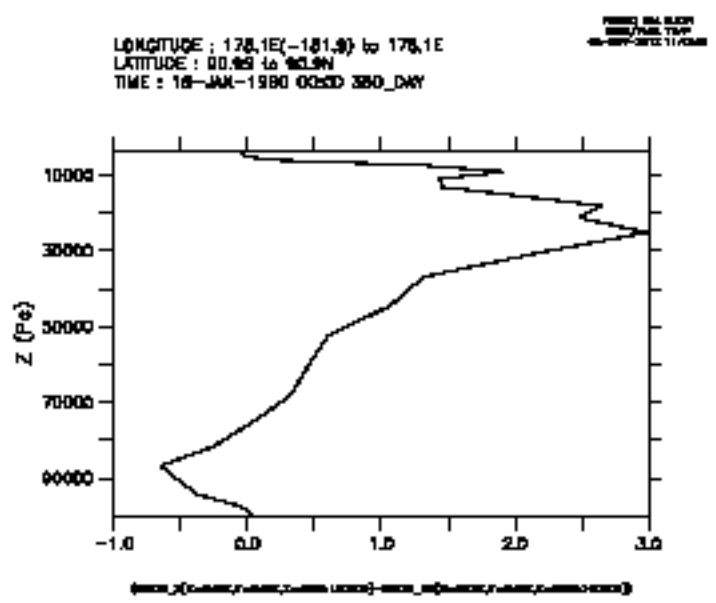
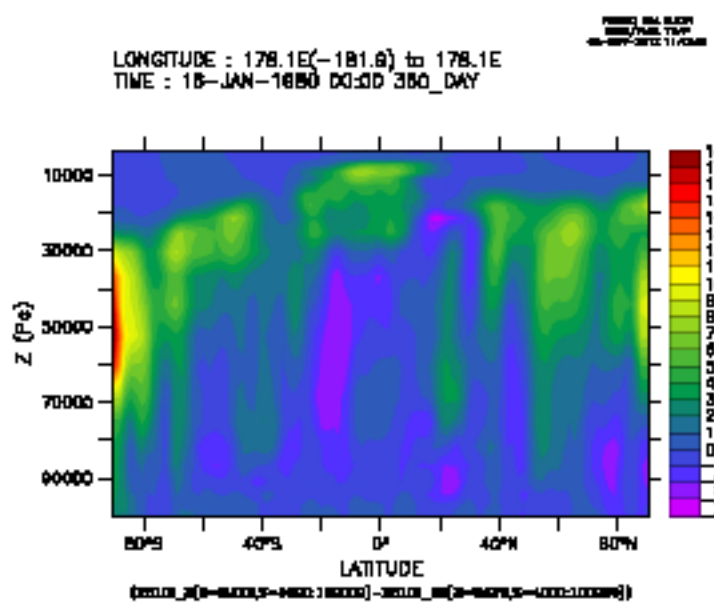
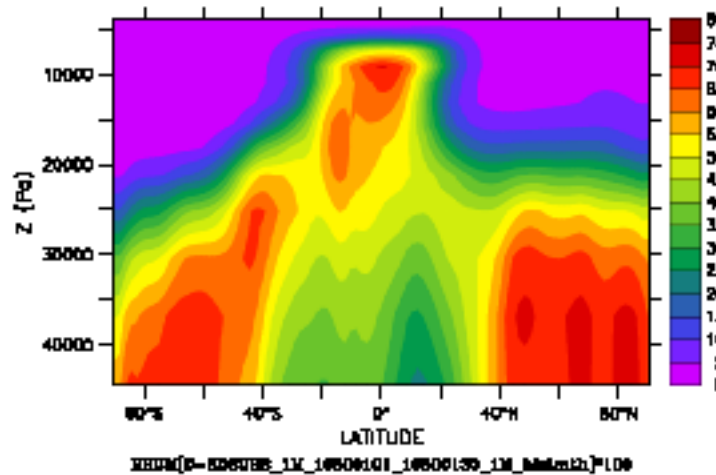
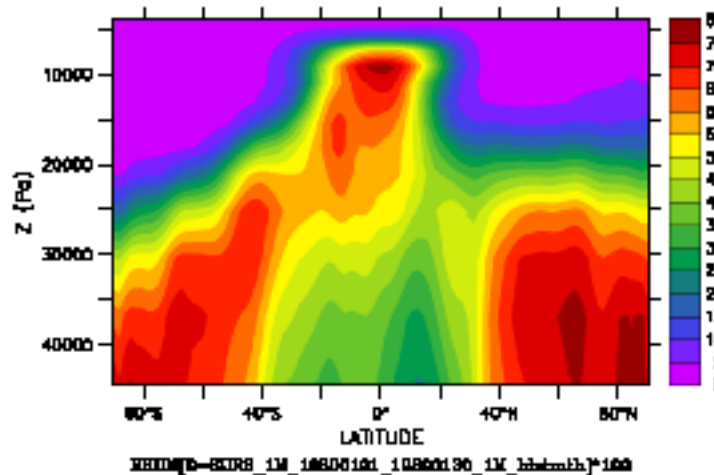
Effect of the supersaturation scheme on the vertical profiles of cloud cover



Effect of the supersaturation scheme on the relative humidity at 110 hPa



Effect of the supersaturation scheme on the vertical profiles of relative humidity



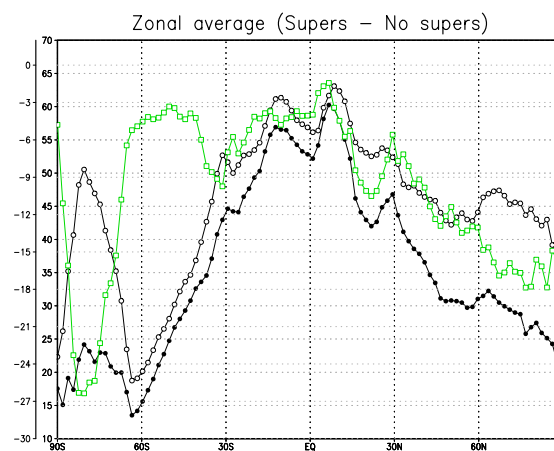
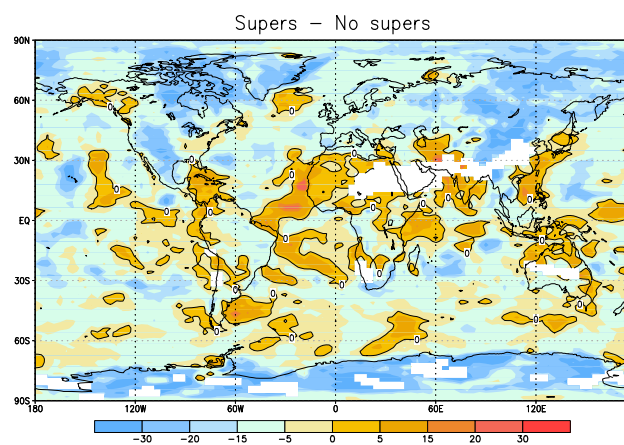
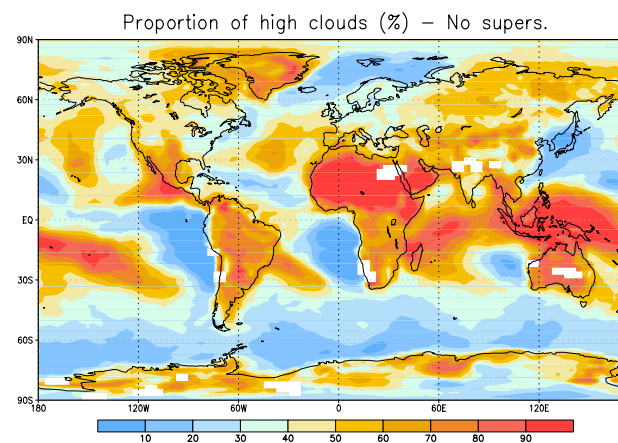
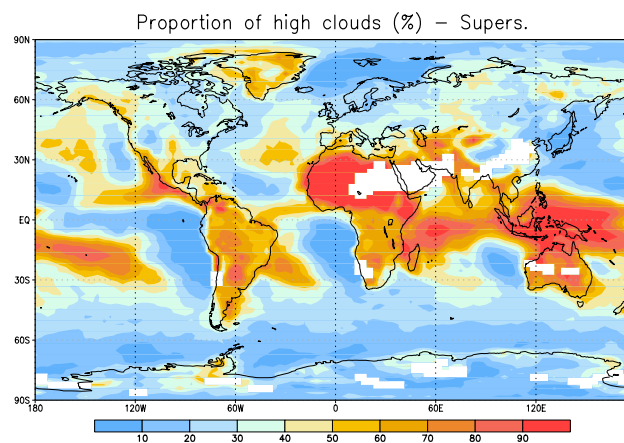
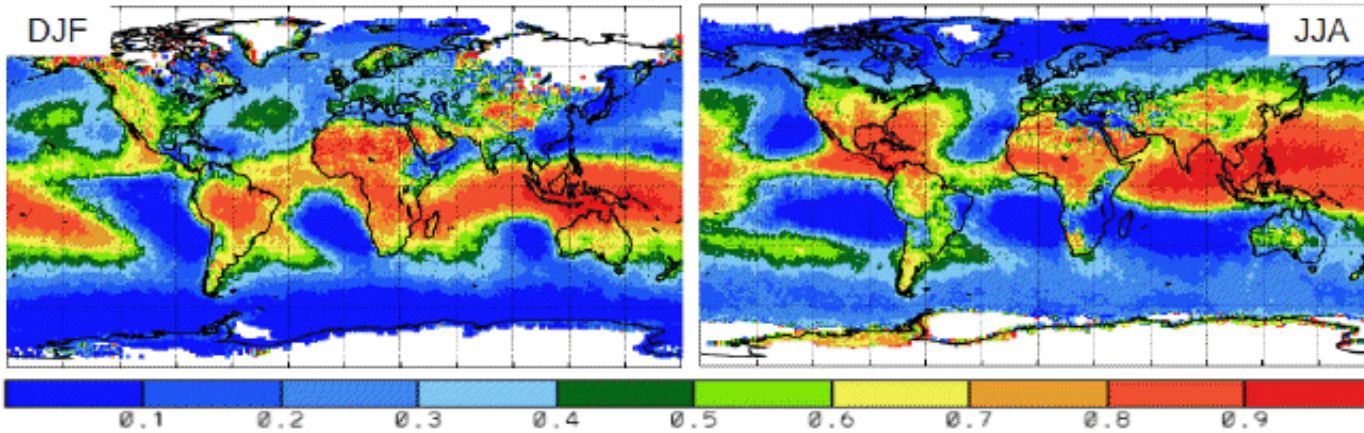
Proportion de nuages hauts

| Winter | Tropics | NH | SH |
|-----------------------|---------|-----|-----|
| No supersaturation NP | 59% | 43% | 27% |
| Supersaturation NP | 55% | 31% | 23% |
| No supersaturation OP | 69% | 57% | 34% |
| Supersaturation OP | 65% | 44% | 28% |
| Guignard et al. | 62% | 31% | 14% |

| Summer | Tropics | NH | SH |
|-----------------------|---------|-----|-----|
| No supersaturation NP | 55% | 44% | 36% |
| Supersaturation NP | 49% | 37% | 26% |
| No supersaturation OP | 66% | 43% | 44% |
| Supersaturation OP | 59% | 37% | 35% |
| Guignard et al. | 58% | 32% | 28% |

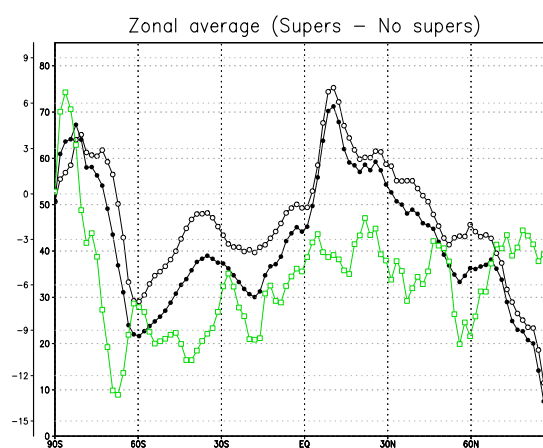
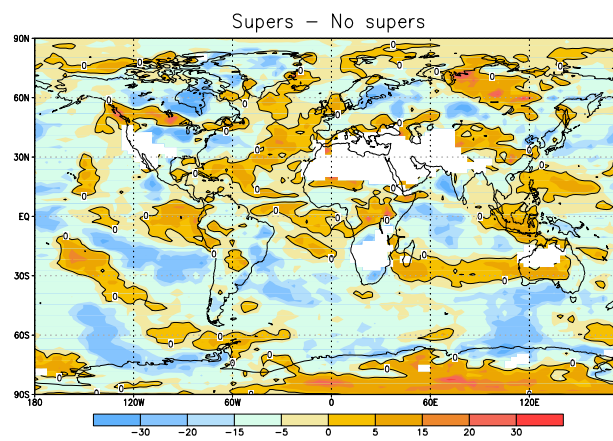
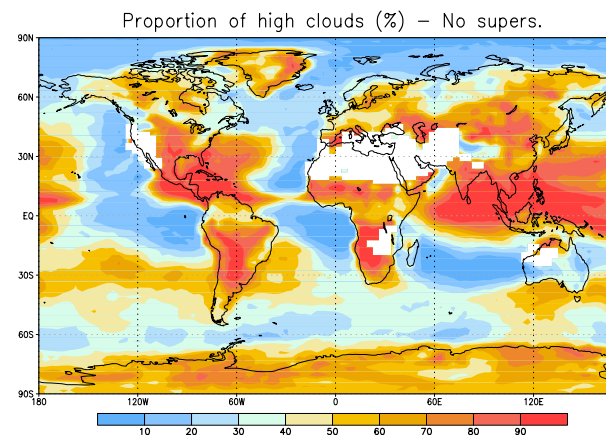
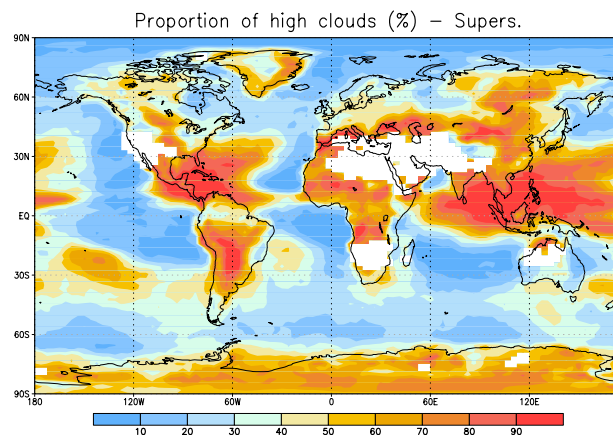
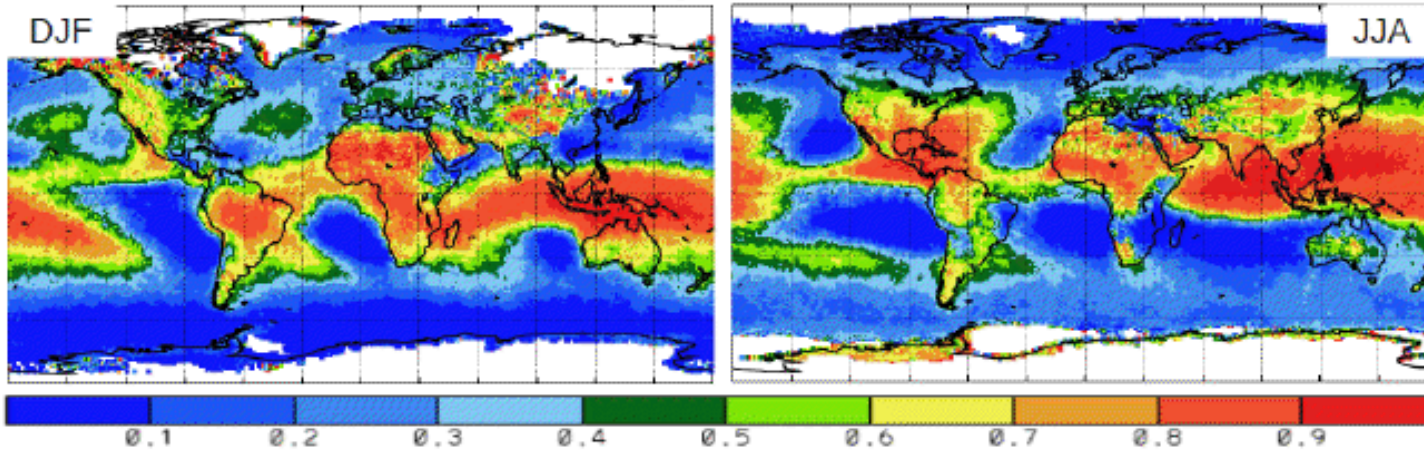
Nouvelle physique et ancienne physique: trop grande proportion de nuages hauts aux moyennes latitudes, corrigé par la sursaturation
Dans les Tropiques, plus faible proportion de nuages hauts dans la nouvelle physique que dans l'ancienne

Relative High Cloud Amount



Nouvelle physique Hiver

Relative High Cloud Amount



Nouvelle physique Ete

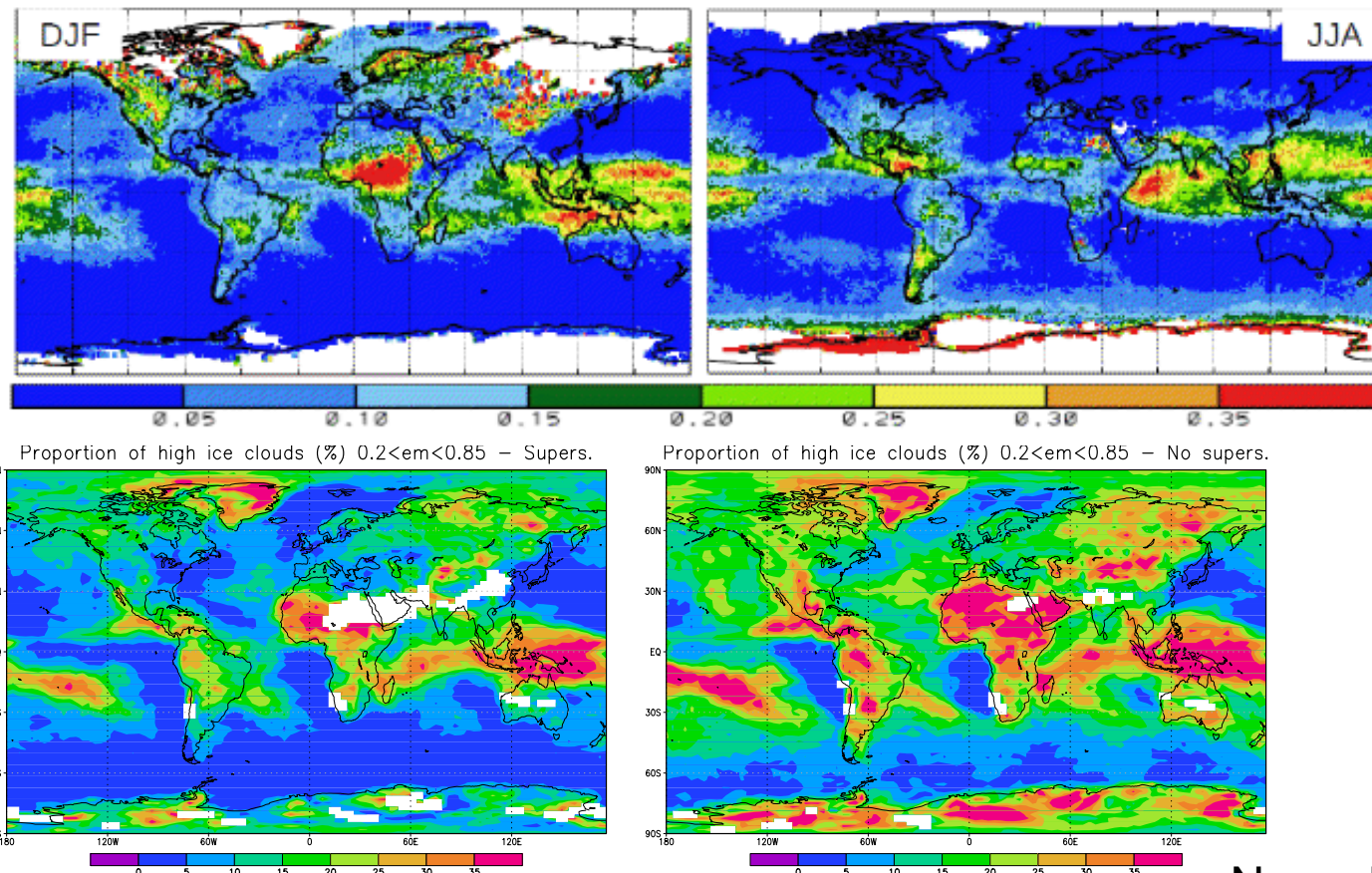
Proportion de nuages hauts de glace et semi-transparents

| Winter | Tropics | NH | SH |
|-----------------------|---------|-----|----|
| No supersaturation NP | 23% | 17% | 7% |
| Supersaturation NP | 18% | 10% | 2% |
| No supersaturation OP | 24% | 18% | 8% |
| Supersaturation OP | 24% | 10% | 2% |
| Guignard et al. | 18% | 15% | 1% |

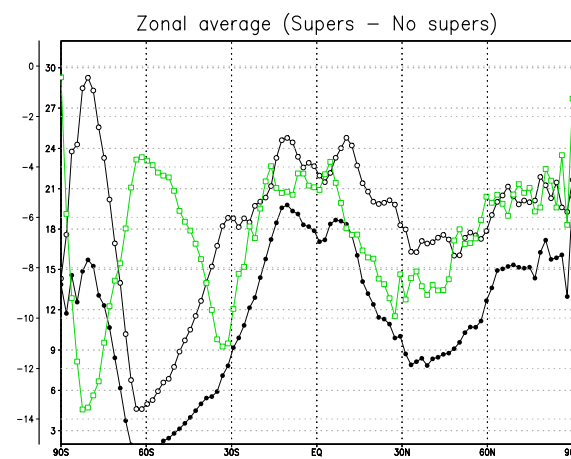
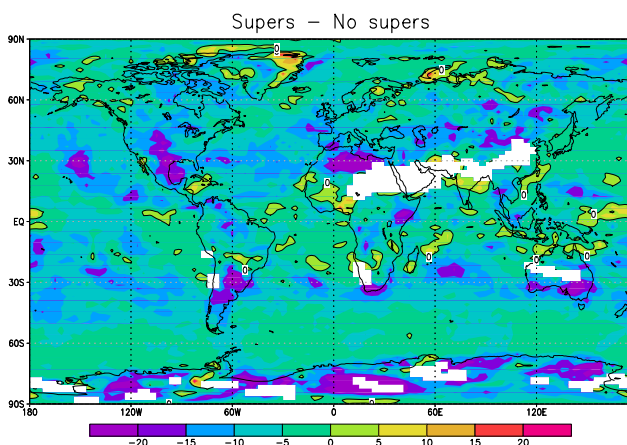
| Summer | Tropics | NH | SH |
|-----------------------|---------|-----|-----|
| No supersaturation NP | 22% | 14% | 12% |
| Supersaturation NP | 17% | 6% | 7% |
| No supersaturation OP | 24% | 12% | 11% |
| Supersaturation OP | 24% | 4% | 6% |
| Guignard et al. | 15% | 4% | 12% |

Avec la sursaturation, diminution des nuages hauts de glace ST, en accord avec les données AIRS

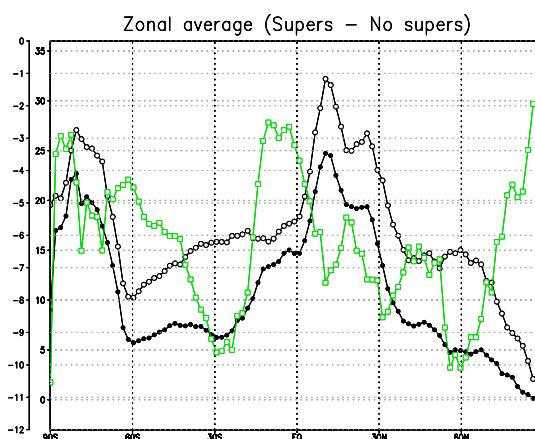
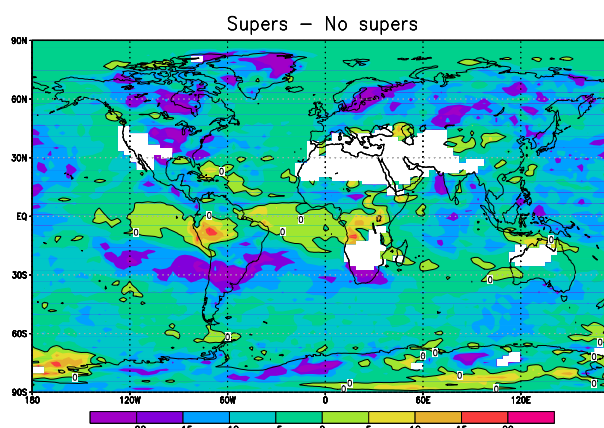
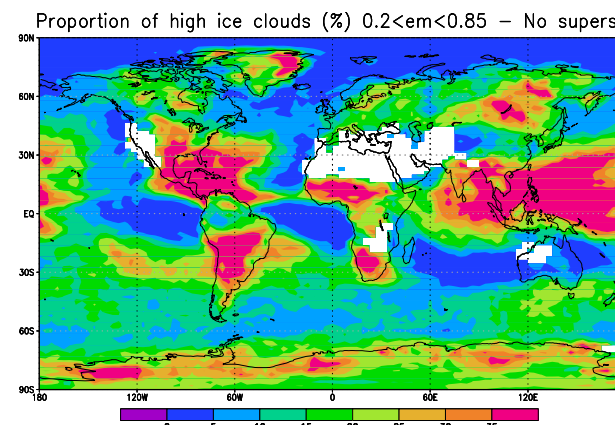
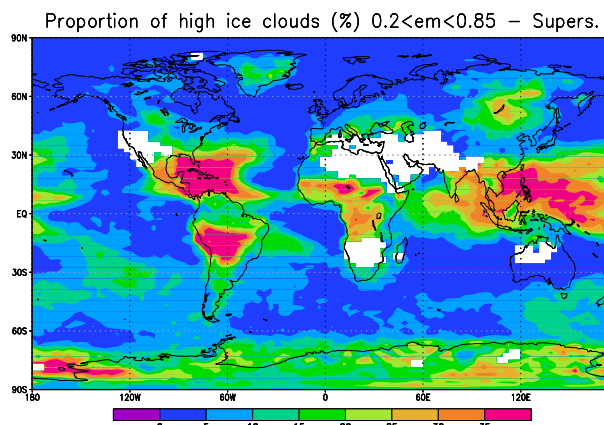
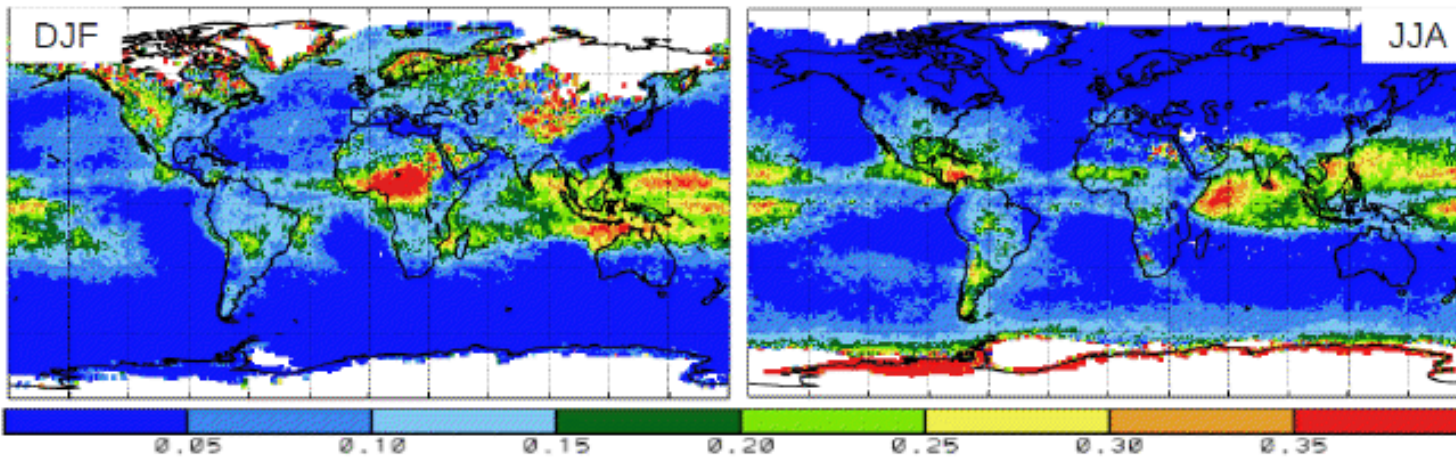
Relative Semi-Transparent High Ice Cloud Amount



Nouvelle physique Hiver

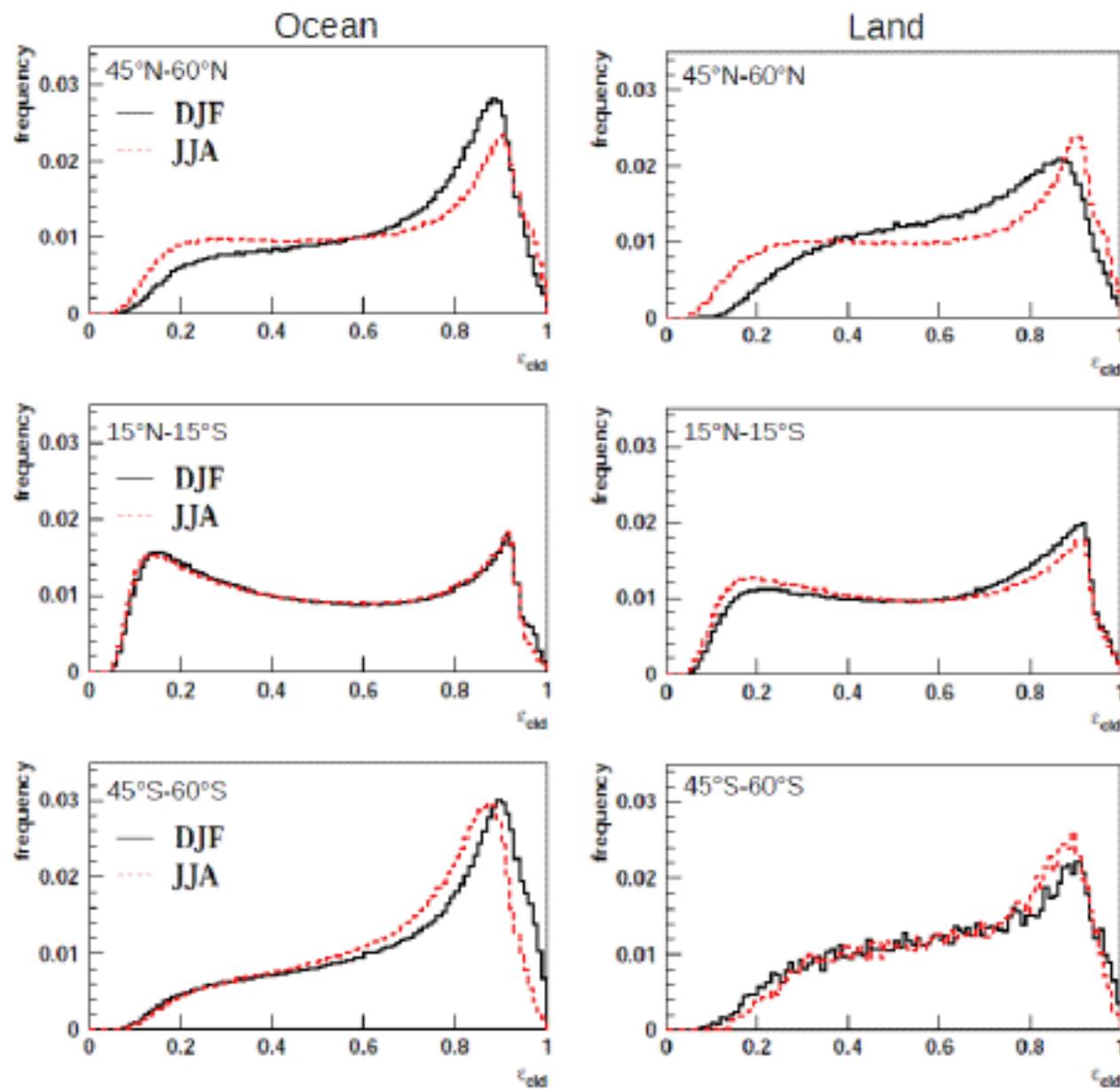


Relative Semi-Transparent High Ice Cloud Amount

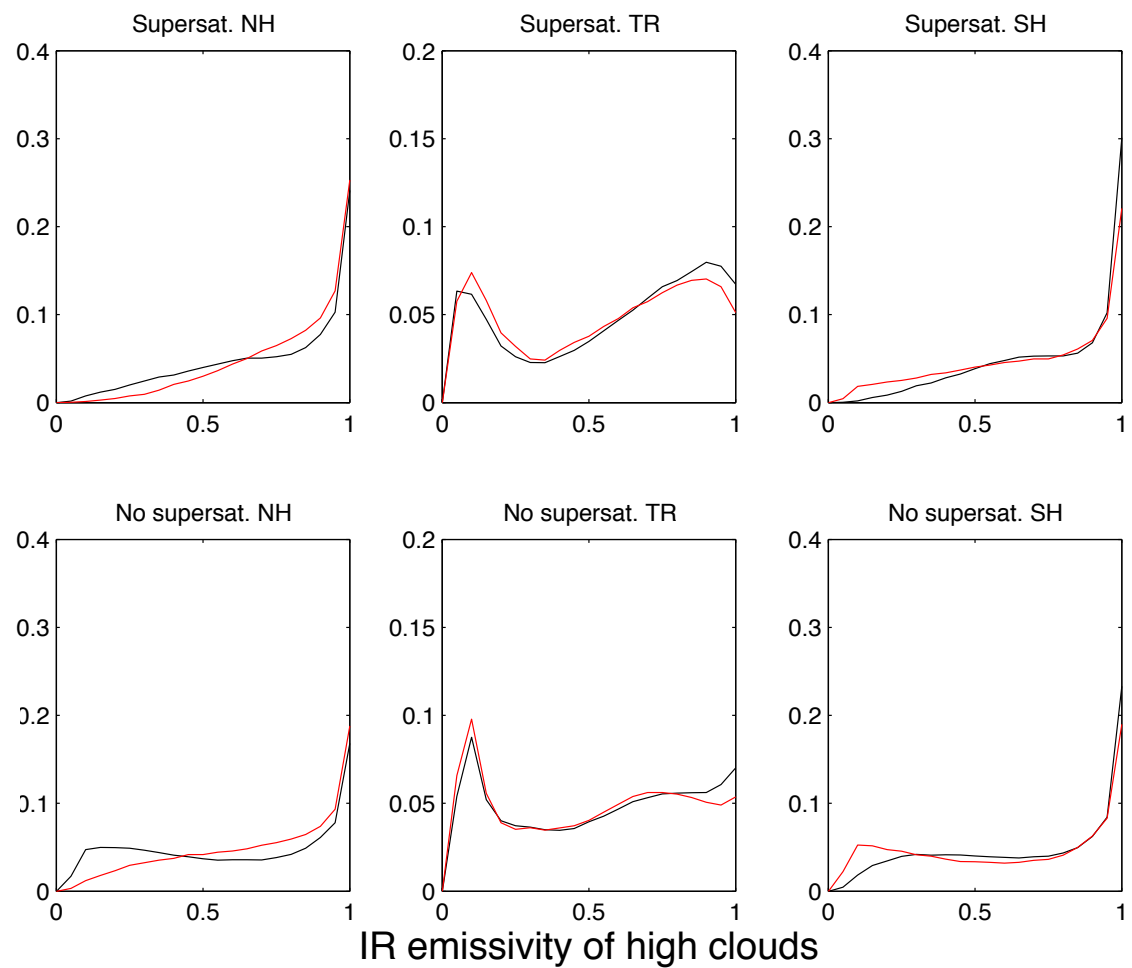
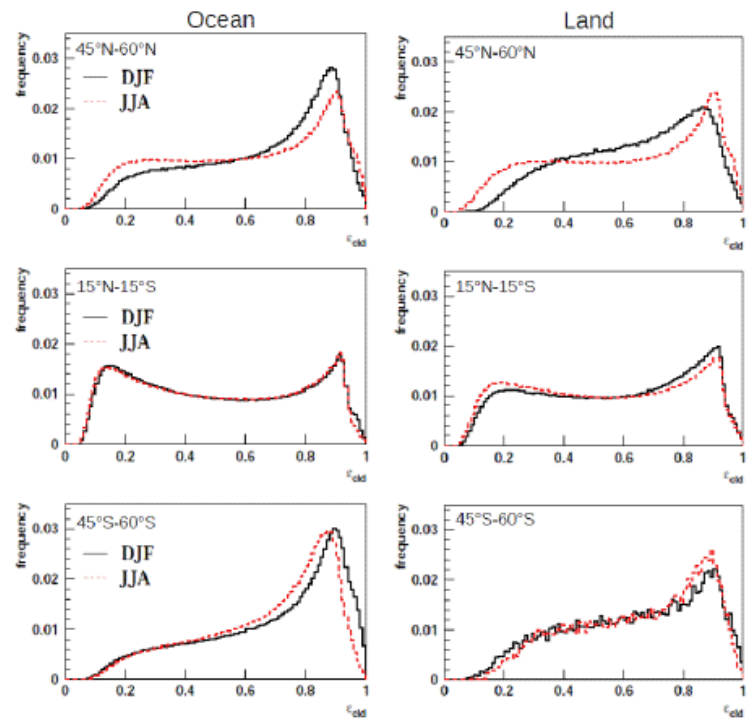


Nouvelle physique Ete

Cloud emissivities in LMDZ and AIRS data



Nouvelle physique



Epaisseur des nuages hauts de glace et semi-transparents

| Winter | Tropics | NH | SH |
|-----------------------|---------|------|------|
| No supersaturation NP | 4101 | 3597 | 2776 |
| Supersaturation NP | 3289 | 2221 | 1869 |
| No supersaturation OP | 3667 | 2558 | 2043 |
| Supersaturation OP | 2943 | 1896 | 1593 |
| Guignard et al. | 4900 | 5500 | 5000 |

| Summer | Tropics | NH | SH |
|-----------------------|---------|------|------|
| No supersaturation NP | 4023 | 2527 | 3318 |
| Supersaturation NP | 3004 | 1776 | 2445 |
| No supersaturation OP | 3488 | 2055 | 2532 |
| Supersaturation OP | 2678 | 1583 | 2044 |
| Guignard et al. | 4500 | 3800 | 5900 |

Dans la nouvelle physique, augmentation de l'épaisseur géométrique des nuages en accord avec les observations
 La sursaturation affine les nuages: pas en accord avec les obs.

Sensitivity to microphysical processes

$$wv_{strato} = (1 - f_{tropo}) \cdot wv_{[CH_4]} + f_{tropo} \cdot \underbrace{[wv(T_{TTL}) + wv_{con} + wv_{ov} + wv_{\mu\varphi}]}_{wv_{tropo}}$$

- 
1. Sensibilité à la température du changement de phase glace/eau liquide
 2. Sensibilité à la sursaturation
 3. Overshoots

Liu and Zipser, JGR, 2005:

Tropical deep convection with overshooting tops is identified by defining 5 different reference heights using a 5-year TRMM database.

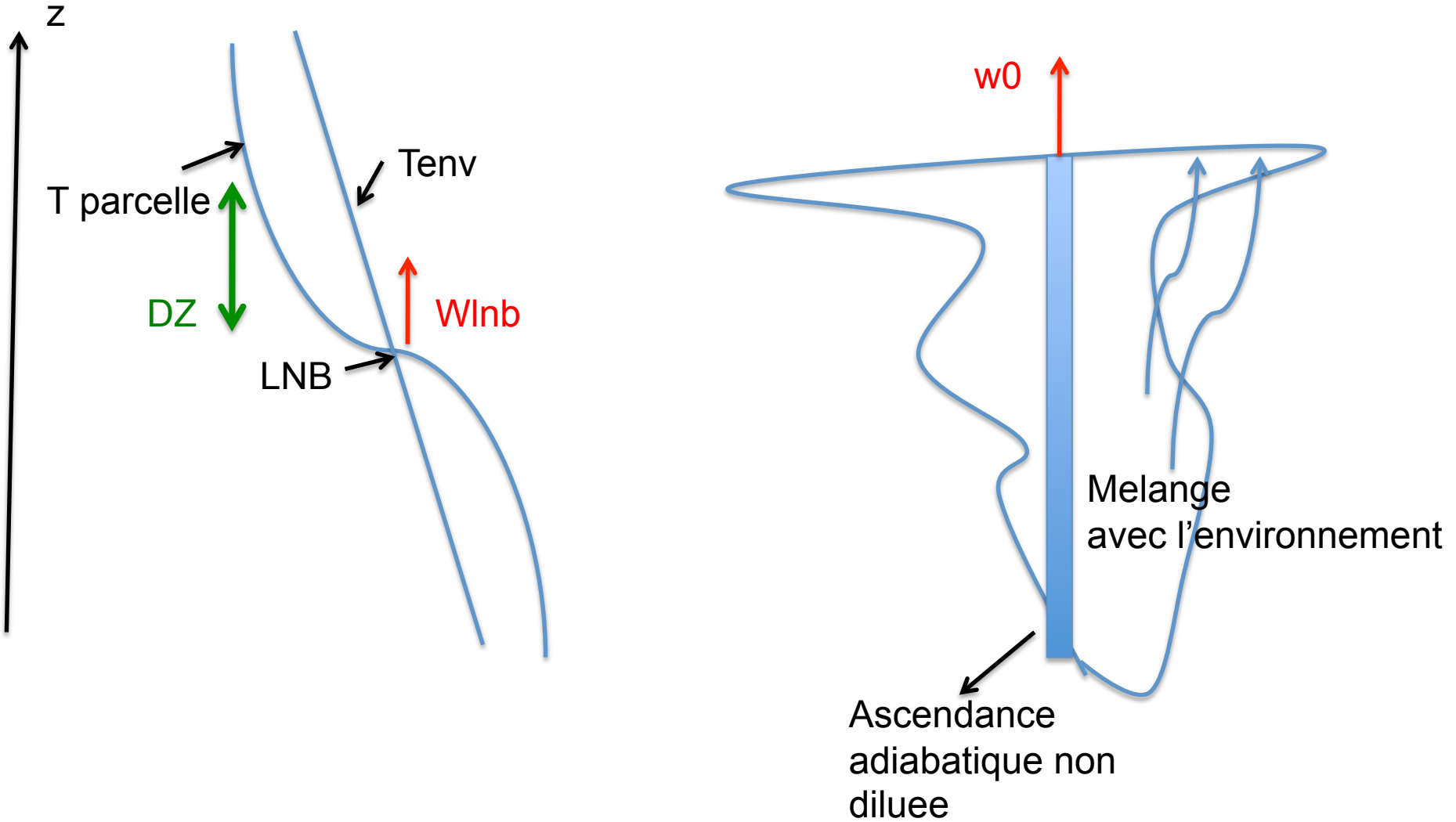
Population percentage: 0.54%

Mean overshooting distance (km): 1.14

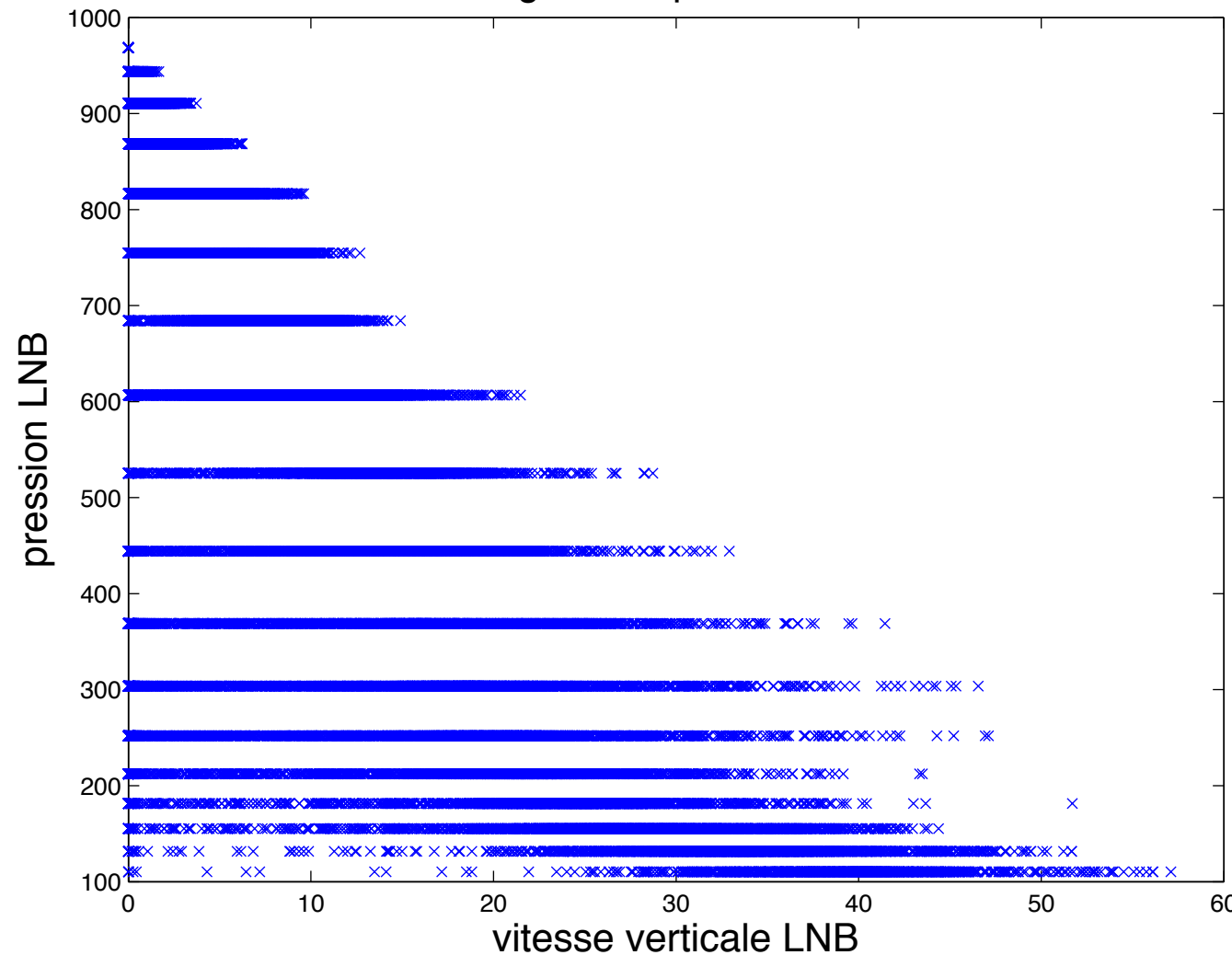
Mean overshooting area (km²): 288 -> diametre de 19 km

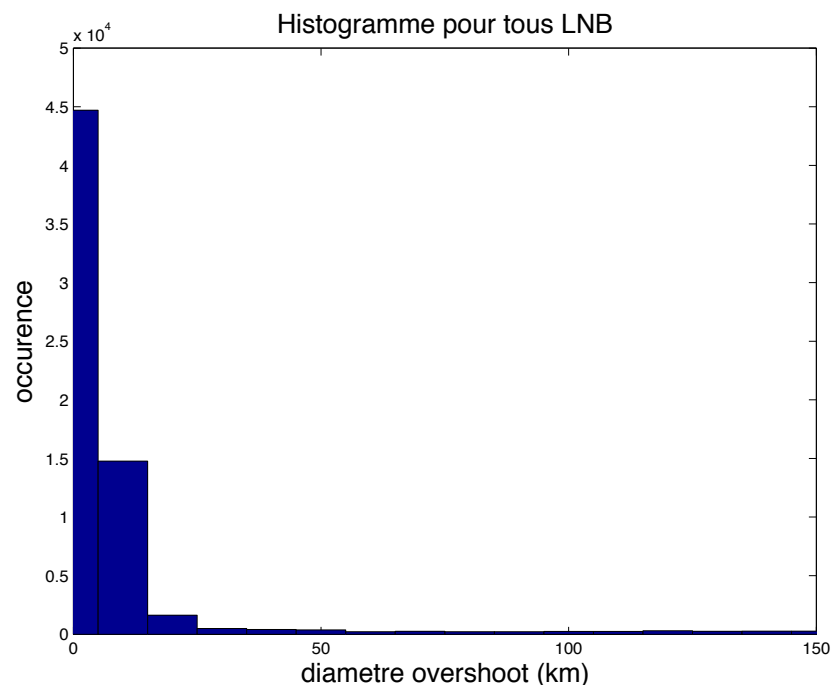
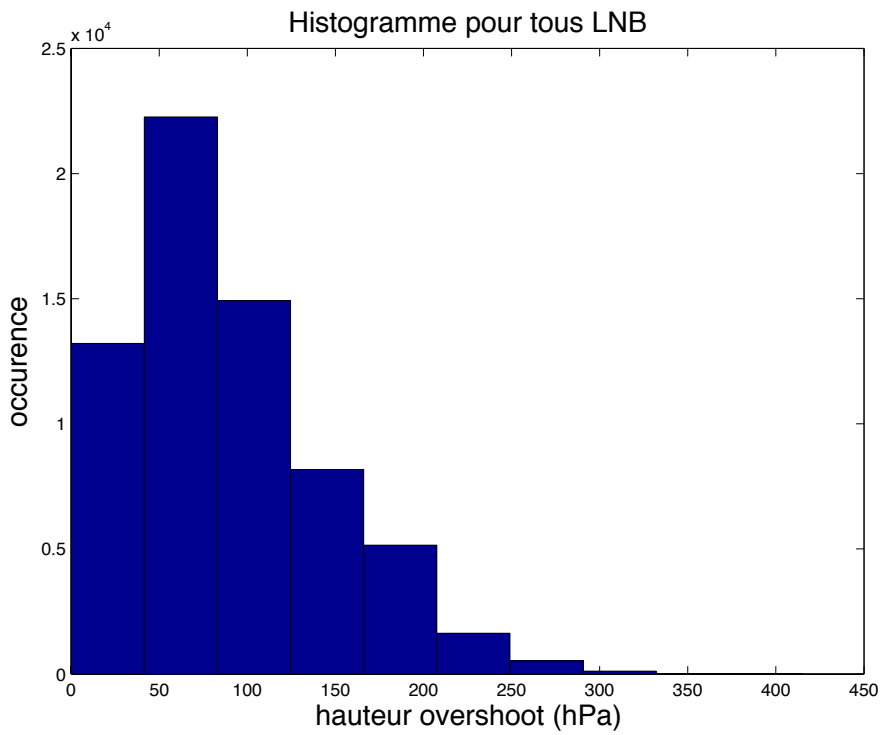
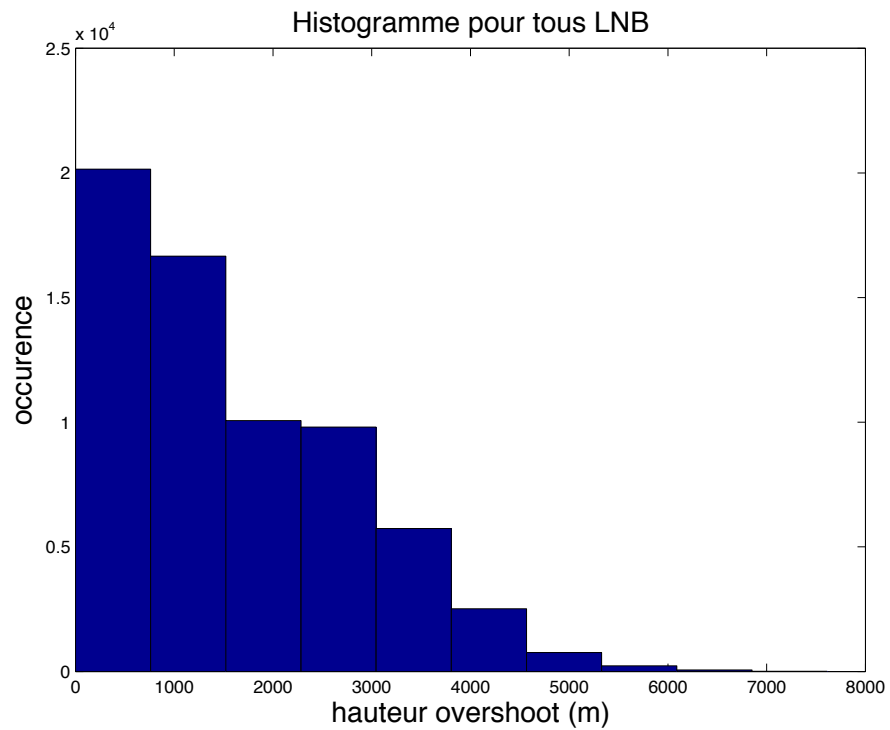
Overshooting mainly in the Tropics over continents.

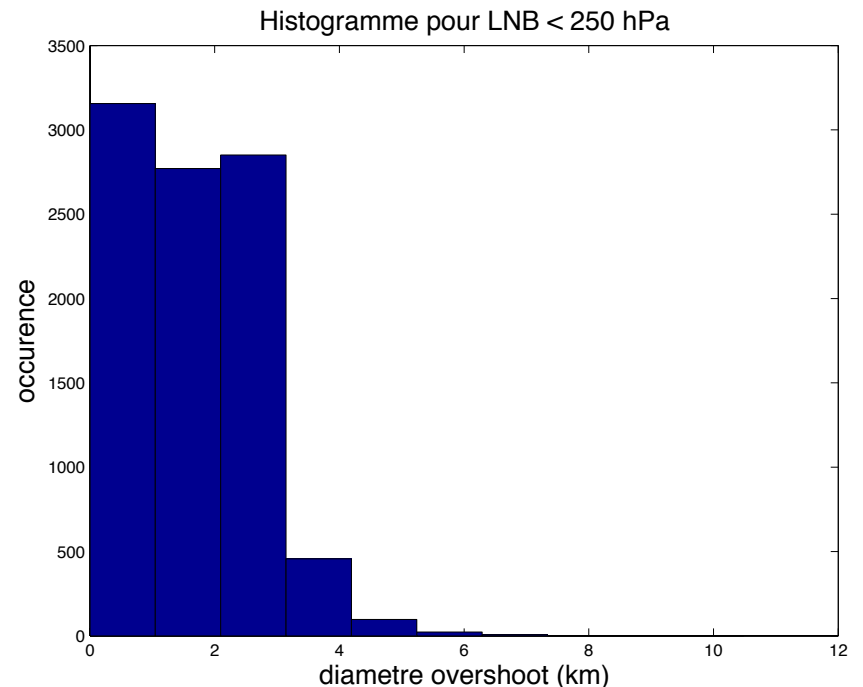
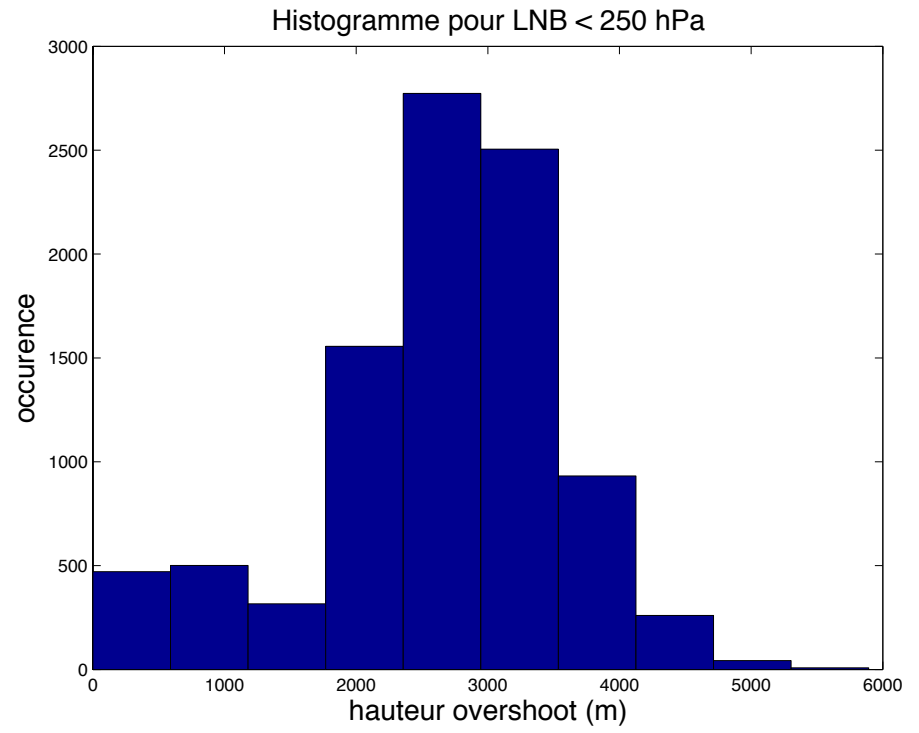
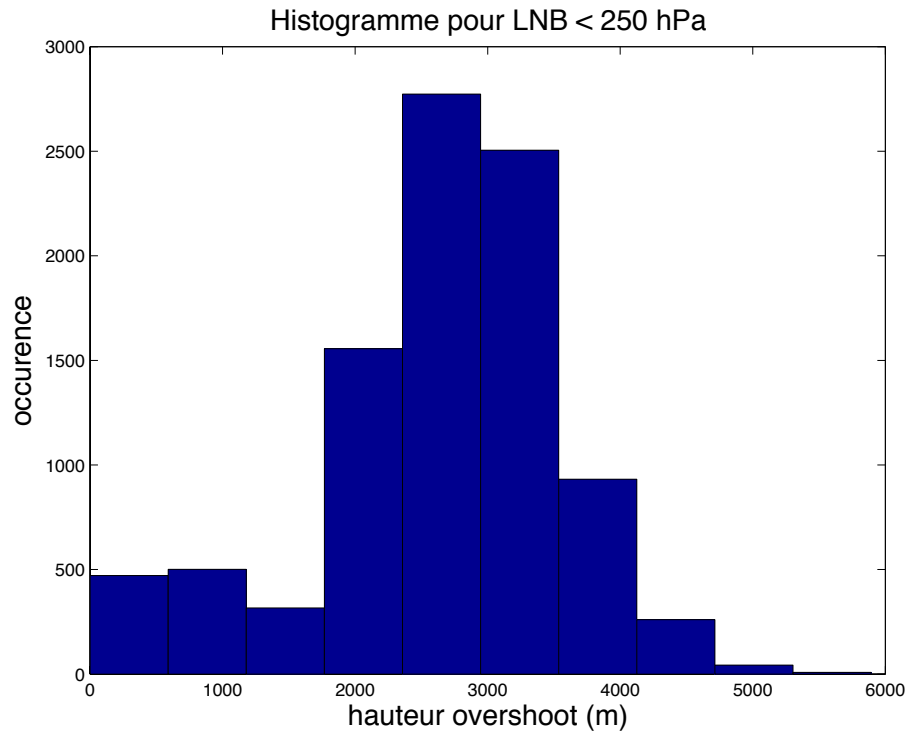
Schema de convection d'Emanuel



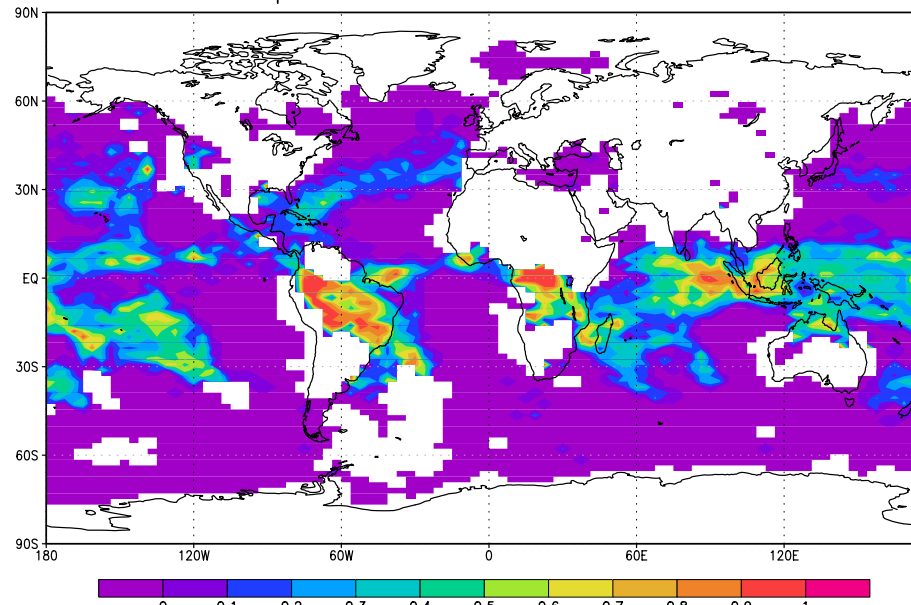
Histogramme pour tous LNB



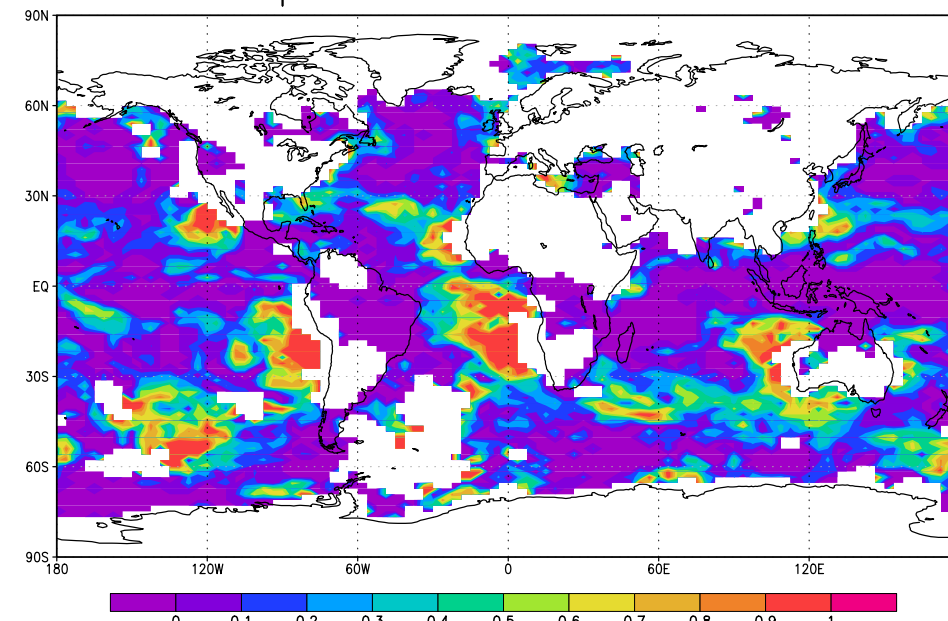




fréquence hauteur overshoot > 3km



'fréquence hauteur overshoot < 100m'



GrADS: COLA/IGES

2014-05-26-16:24

Conclusions

- Reasonable tropo-stratospheric transport in LMDZ
- The air parcels penetrate at the bottom of the TTL in regions of deep convection
- Presence of horizontal transport in the LMDZ TTL.
- 0.6 K cold bias of Lagrangian temperature minima, and a 0.2 ppmv dry bias of the amount of water vapour at the entry of the TTL.
- Phase temperature change slightly decreases IWP in midlatitudes, high cloud cover is too large in midlatitudes.
- Supersaturation increases the TTL water vapour of 0.2 ppmv, increases relative humidity of 10 % (consistent with *Tompkins et al. 2007*), reduces cloud fraction in midlatitudes.